



# VYSOKÉ UČENÍ TECHNICKÉ V BRNĚ

BRNO UNIVERSITY OF TECHNOLOGY

BRNO UNIVERSITY OF TECHNOLOGY

# FAKULTA STROJNÍHO INŽENÝRSTVÍ

## FACULTY OF MECHANICAL ENGINEERING

ÚSTAV AUTOMOBILNÍHO A DOPRAVNÍHO INŽENÝRSTVÍ

INSTITUTE OF AUTOMOTIVE ENGINEERING

## NÁVRH PŘEVODŮ HPV

## TRANSMISSION OF HPV

## DIPLOMOVÁ PRÁCE

MASTER'S THESIS

AUTOR PRÁCE  
AUTHOR

Bc. Antonín Martinát

## VEDOUCÍ PRÁCE SUPERVISOR

doc. Ing. Zdeněk Kaplan, CSc.

BRNO 2018

# Zadání diplomové práce

Ústav: Ústav automobilního a dopravního inženýrství  
Student: **Bc. Antonín Martinát**  
Studijní program: Strojní inženýrství  
Studijní obor: Automobilní a dopravní inženýrství  
Vedoucí práce: **doc. Ing. Zdeněk Kaplan, CSc.**  
Akademický rok: 2017/18

Ředitel ústavu Vám v souladu se zákonem č.111/1998 o vysokých školách a se Studijním a zkušebním řádem VUT v Brně určuje následující téma diplomové práce:

## Návrh převodů HPV

### Stručná charakteristika problematiky úkolu:

Úkolem diplomové práce magisterského studia je komplexní studium problematiky silničních vozidel poháněných lidskou silou (HPV) a na základě shromážděných poznatků zpracovat vlastní návrh pohonu HPV.

### Cíle diplomové práce:

Cílem řešení zadání diplomové práce je obecný úvod do problematiky HPV, vlastní konstrukční návrh převodů silničního HPV včetně výpočtové a výkresové dokumentace vybraných částí a vlastního kritického zhodnocení dosažených výsledků včetně zdůraznění předností a nedostatků navrhovaného řešení.

### Seznam doporučené literatury:

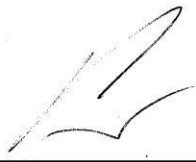
JAN, Zdeněk, ŽDÁNSKÝ, Bronislav a ČUPERA, Jiří. Automobily (2): Převody. Brno: Avid, spol. s r.o., 2009. 155s. ISBN 978-80-87143-12-4.

ACHTENOVÁ, Gabriela. Převodní ústrojí motorových vozidel: diferenciály a děliče momentu. Praha: České vysoké učení technické v Praze, 2015. 56 s. ISBN 978-80-01-04855-9.

SHIGLEY, Joseph Edward, MISCHKE, Charles R. a BUDYNAS, Richard G. (ed.). Konstruování strojních součástí. Přeložil Martin HARTL. V Brně: VUTIUM, 2010. 1159 s. ISBN 978-80-214-2629-0.

Termín odevzdání diplomové práce je stanoven časovým plánem akademického roku 2017/18.

V Brně, dne 1. 11. 2017



prof. Ing. Václav Píštěk, DrSc.  
ředitel ústavu



doc. Ing. Jaroslav Katolický, Ph.D.  
děkan fakulty



## ABSTRAKT

Tato diplomová práce se zabývá návrhem převodového ústrojí vozidla poháněného lidskou silou. Nejprve je zde krátká rešeršní část používaných převodových ústrojí, poté následuje vlastní konstrukční návrh a pevnostní výpočet vybraných dílů.

K práci je přiložena výkresová dokumentace.

## KLÍČOVÁ SLOVA

HPV, vozidlo poháněné lidskou silou, převodové ústrojí, ozubené kolo

## ABSTRACT

This diploma thesis concerns the design proposal for a bicycle gearbox powered by human force. The first part summarizes the existing solutions. The second part includes the proposal of the new design, together with the calculation of the strength for selected parts.

Attached are the drawings documenting the findings.

## KEYWORDS

HPV, human powered vehicle, gearbox, gear



## **BIBLIOGRAFICKÁ CITACE**

MARTINÁT, A. *Návrh převodů HPV*. Brno: Vysoké učení technické v Brně, Fakulta strojního inženýrství, 2017. 53 s. Vedoucí diplomové práce doc. Ing. Zdeněk Kaplan, CSc..



## ČESTNÉ PROHLÁŠENÍ

Prohlašuji, že tato práce je mým původním dílem, zpracoval jsem ji samostatně pod vedením doc. Ing. Zdeňka Kaplana, CSc. a s použitím literatury uvedené v seznamu.

V Brně dne 25. května 2018

.....

Antonín Martinát



## **PODĚKOVÁNÍ**

Chtěl bych poděkovat svému vedoucímu práce doc. Ing. Zdeňku Kaplanovi, CSc. za odborné vedení této diplomové práce a velikou podporu. Dále chci poděkovat své rodině a nejbližším za morální a finanční podporu během studia.

## OBSAH

Úvod.....	9
1 Konvenční převodové ústrojí .....	10
1.1 Řetězový převod .....	10
1.2 Řemenový převod .....	11
1.3 Nábojová převodovka .....	12
2 Nekonvenční převodové ústrojí .....	14
2.1 NuVinci .....	14
2.2 Převodovka Pinion.....	14
2.3 MUTAPED PHOEBUS .....	15
2.4 Truvativ HammerSchmidt.....	16
2.5 Hřídel .....	16
2.6 Kombinované řazení .....	17
2.7 Rétero-Direct.....	18
3 Vize převodů HPV a koncepty řešení .....	19
3.1 Požadavky na navrhované převody HPV.....	20
3.2 Koncepty řazení .....	20
4 Vlastní konstrukční návrh.....	26
4.1 Stanovení počtu převodů.....	26
4.2 Popis konstrukce převodového ústrojí .....	28
4.3 Smysl otáčení.....	33
5 Pevnostní výpočty .....	34
5.1 Zjednodušený kontrolní výpočet prvního čelního soukolí.....	34
5.2 Návrh minimálního průměru hnací hřídele .....	46
Závěr .....	47
Seznam použitých zkratek a symbolů .....	51
Seznam příloh .....	53

## ÚVOD

HPV znamená human powered vehicle, tedy vozidlo poháněné lidskou silou. Leonardo da Vinci vynalezl tank, který byl poháněný lidskou silou. (1) Šlapací lod' je v dnešní době běžná atrakce u vody. V roce 1988 byla na šlapacím letadle uražena vzdálenost 115 km za 3 hodiny a 54 minut a dokonce existuje i šlapací vrtulník Gamera 2. (2) Já se však budu zabývat jízdním kolem. Motivace je zřejmá. Jsem cyklista, který už jako dítě jezdil na malém jízdním kole po zahradě. Následovaly různé výlety a v poslední době jízdní kolo využívám hlavně jako dopravní prostředek z místa A do místa B. Mnoho najezděných hodin, mnoho zážitků, pozorování problémů jiných cyklistů a hlavně technických poruch mě motivovalo vymyslet zlepšení.

V této diplomové práci nejprve uvádím přehled používaných konstrukčních řešení jak přenést sílu od pedálů až na poháněné kolo. Zaměřil jsem se přitom na konvenční i na nekonvenční řešení. Ve zbývající části závěrečné práce přináším vlastní řešení převodů HPV.



Obr.1 Já na Husově ulici v Brně dne 17.5.2014 (zdroj vlastní)

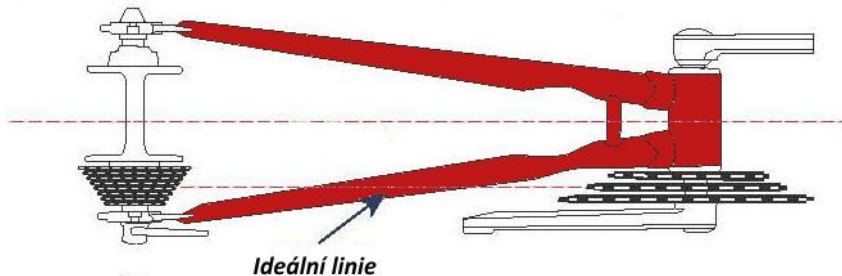
# 1 KONVENČNÍ PŘEVODOVÉ ÚSTROJÍ

Historie jízdního kola sahá ke konci 19. století. Nejprve byla sestrojena různá odstrkovadla. První šlapací jízdní kola měla poháněná přední kolo bez jakéhokoliv převodu. Cyklista však seděl vysoko nad velikým předním kolem, což zapříčňovalo časté pády. Jízdní kolo s konstrukcí, jak ji známe z dnešní doby, se datuje do roku 1884. Tehdy John Kemp Starley uvedl model Rover, který měl nízký kosodělníkový rám a řetězový pohon zadního kola. (3)

Jako konvenční převodové ústrojí považuji pohon pomocí řetězu. Pokud je jízdní kolo více než s jednou rychlosí, tak pro městská kola je často použito nábojové převodovky v zadním náboji a pro všechna ostatní kola se používá systému převodník/kazeta.

## 1.1 ŘETĚZOVÝ PŘEVOD

Dnes se často používá pro přenos krouticího momentu od pedálů k zadnímu kolu řetězový převod. Řetěz je hodně namáhaný, neboť nepracuje v ideálních podmínkách. Velice nepříznivě na něj působí křížení řetězu (viz. Obr. 2) a dále nečistoty z okolního prostředí. (4)



Obr. 2 Křížení řetězu (4)

Vzadu, u zadního kola, se nachází kazeta. Kazeta se skládá z různě velkých pastorků. Změnu převodu zajišťuje přehazovačka, která má tvar rovnoběžníku. Pohybem vlevo či vpravo přesouvá řetěz z jednoho pastorku na jiný. (5)

U středu bicyklu se nachází převodník, který se skládá z jednoho, ze dvou nebo ze tří řetězových kol. Změna převodu se provádí přesmykačem, jenž má podobně jako přehazovačka tvar rovnoběžníku. (5)

### Výhody řetězového převodu:

- Účinnost je až 98,6% (6)
- Možnost velkého množství převodů
- Hmotnost celé soustavy (tj. řetěz, řetězová kola, přesmykače) je relativně malá
- 

### Nevýhody řetězového převodu:

- Častá údržba (čištění od nečistot)

- Časté mazání
- Ekologická zátěž (mazivo se smývá volně do přírody)
- Některé převody jsou podobné
- Možnost křížení řetězu
- Složité ovládání (dvě řadicí páky)
- Relativně krátká životnost řetězu

## 1.2 ŘEMENOVÝ PŘEVOD

Řemenový převod se nejčastěji používá u městských jízdních kol, ale lze samozřejmě použít na všech typech jízdních kol. Používá se výhradně ozubený řemen. (7)



Obr. 3 Řemenový převod (7)

### Výhody řemenového převodu: (7)

- Nízká hlučnost
- Nízká hmotnost
- Nepodléhá korozi
- Má dlouhou životnost

### Nevýhody řemenového převodu: (7)

- Je potřeba rám jízdního kola s rozpojitelnou zadní stavbou
- Vyšší cena (srovnání s řetězem)
- Používá se pouze s jedním převodníkem
- Možné přetržení bez náznaku varování
- Je citlivější na mechanické poškození

- Nelze opravit
- V ČR hůře dostupný (srovnání s řetězem)

### 1.3 NÁBOJOVÁ PŘEVODOVKÁ

Alternativním řešením k systému převodník/kazeta je použití nábojové převodovky, jenž využívá principu planetového soukolí. Vznikla už v roce 1896, kdy si William Reilly nechal patentovat dvourychlostní náboj kola. (8)

Firma Rohloff nabízí nábojovou převodovku, která má 14 rychlostí a rozsah převodů je 526%. Tato převodovka nemá žádné převody podobné. (9)



Obr. 4 14-ti rychlostní nábojová převodovka Rohloff (10)

#### Výhody nábojové převodovky:

- Možnost řazení při záběru
- Možnost řazení bez šlapání
- Ochrana před vlivem okolí, převodovka je v uzavřené skříni
- Dobré mazání
- Řazení jednou řadicí pákou

**Nevýhody nábojové převodovky:**

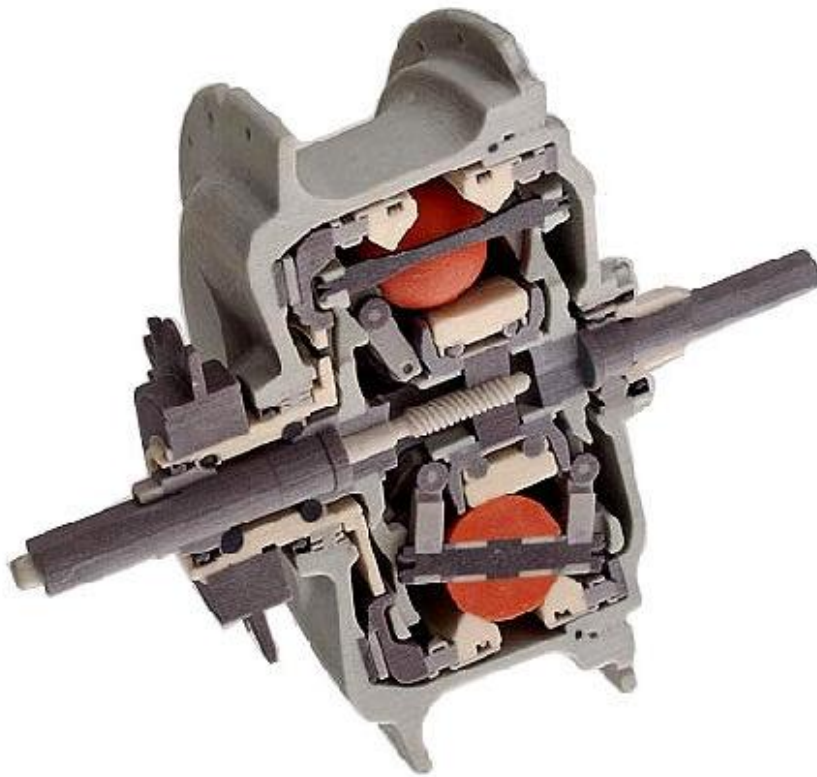
- Větší hmotnost převodovky
- Větší hlučnost převodovky
- Vyšší pořizovací cena
- Časová prodleva mezi šlápnutím a záběrem zadního kola (moje zkušenost)
- Pomalá odezva při řazení na lehčí převod (moje zkušenost)

## 2 NEKONVENČNÍ PŘEVODOVÉ ÚSTROJÍ

Zde uvádím buď starší řešení, které se dnes už běžně nevyrábějí, nebo méně často používané převodovky.

### 2.1 NUVINCI

Společnost Fallbrook Technologies Int. nabízí převodovku s plynule měnitelnými převody. Rozsah převodů činí 330%, respektive 380%, přičemž hmotnost obou verzí je 2450g. Převodovka je součástí náboje zadního kola. Náboj je vybavený rotujícími kuličkami mezi dvěma disky. Kuličky propojují hnací a hnaný disk. Princip změny převodů spočívá v tom, že se kuličky konstrukčním řešením mohou natáčet. Tím se mění poloměry, na kterých se disky dotýkají kuliček. Na jednom disku se poloměr zvětší, na druhém zmenší. Teoreticky jde na této převodovce nastavit nekonečně mnoho převodových stupňů. Změna převodových stupňů je plynulá. (11)



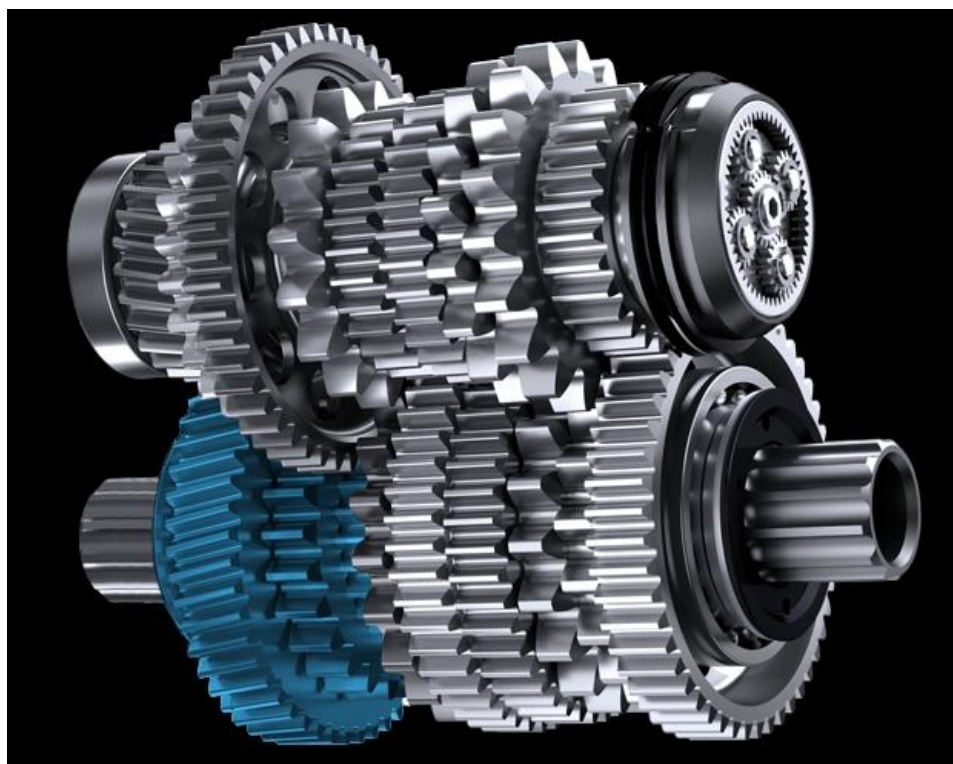
Obr. 5 Převodovka NuVinci (12)

### 2.2 PŘEVODOVKA PINION

Německá firma Pinion vyrábí převodovky, které jsou umístěny ve středu jízdního kola. Lze zakoupit různé modely lišící se zejména počtem převodových stupňů. Maximálně lze zakoupit 18-ti stupňovou převodovku s rozsahem převodů 636%. Jednotlivé převody jsou

odstupňovány s konstantním krokem 11,5%. Převodovka má tři hřídele. Na hnací hřídele je šest ozubených kol s čelními zuby. Vždy je v záběru jedno z těchto kol. Předlohou hřídel má devět ozubených kol s čelními zuby. Šest z nich směřuje na hnací hřídel a tři směřují na hnanou hřídel, kde je opět v záběru vždy jen jedno ozubené kolo. Převodovka je uložena v převodové skříni, tím je chráněna proti vlivu okolního prostředí. 60ml syntetického oleje (viskozita 68) se má podle výrobce měnit každých 10000km nebo jednou ročně. Hmotnost převodovky je 2700g a výstup z ní vede buď na řetězové kolo nebo na kolo pro ozubený řemen.(13)

Obr. 6 znázorňuje převodovku Pinion P1.18. Modře jsou zvýrazněna ozubená kola na hnané hřídele.



Obr. 6 Převodovka Pinion P1.18 (13)

## 2.3 MUTAPED PHOEBUS

V roce 1937 se objevilo kolo se třemi rychlostmi. Převodovka tvoří celek s rámem kola. Samotné převody tvoří ozubená kola s čelními zuby. Řazení probíhá tak, že cyklista vždy zpětně otočí pedály. Rychlosť se mění v pořadí 1 – 2 – 3 – 1 – 2 – 3 – .... (14) (15)



Obr. 7 MUTAPED PHOEBUS (14)

## 2.4 TRUVATIV HAMMERSCHMIDT

Společnost SRAM nabízí klinky, které mají v sobě ukrytý planetový převod. Cyklista volí mezi převodem 1: 1 a přibližně 1: 6. Hmotnost kliky je 1623g.(16)

## 2.5 HŘÍDEL

Na jízdním kole, kde nebyl řetěz ale hřídel, vyhrál Francouz Rivierre třikrát po sobě závod Bordeaux-Paříž v letech 1896, 1897 a 1898. Na začátku dvacátého století se vyráběla jízdní kola s hřídelí ve Francii, v USA nebo v Německu. V této době se objevovaly nejrůznější letáky, které hlásaly, že v pohonu hřídelí je budoucnost. Poté však následoval útlum. Oživení nastalo až na konci dvacátého století s uvedením jízdního kola Aitelen Chainless.(17) (3)



Obr. 8 Dürkopp Kardan 1929(18)



Obr. 9 Aitelen Chainless (19)

## 2.6 KOMBINOVANÉ ŘAZENÍ

Společnost SRAM nabízí kombinaci nábojové převodovky a kazety. Kazeta má osm nebo devět rychlostí. Nábojová převodovka má rychlosti tři. Celkový rozsah převodů je 542%, respektive 576%. (20)



Obr. 10 SRAM DUALDRIVE (21)

## 2.7 RÉTRO-DIRECT

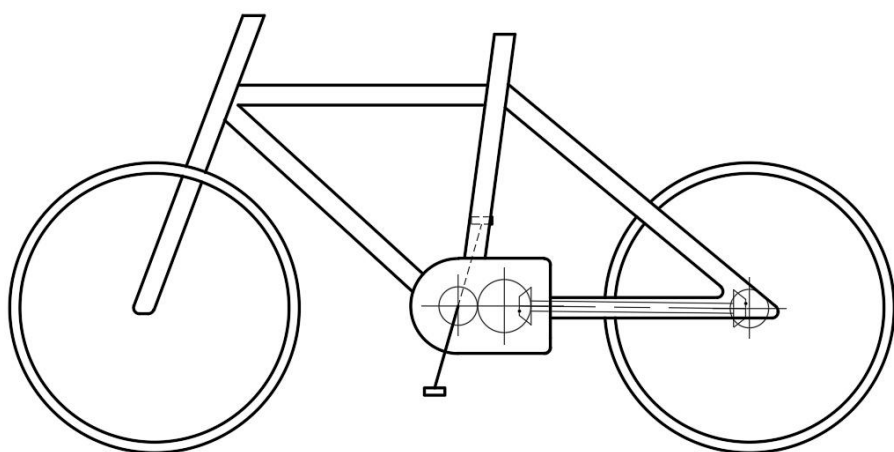
Ve Francii kolem roku 1925 vymyslela společnost Manufacture Française d'Armes et Cycles jízdní kolo Rétro-Direct. Toto jízdní kolo má pohon řetězem a disponuje dvěma převody. Řadicí páka zde není. Mechanismus při šlapání vpřed a vzad vždy sepne do záběru jiné řetězové kolo. (17)



Obr. 11 Rétro-Direct (22)

### 3 VIZE PŘEVODŮ HPV A KONCEPTY ŘEŠENÍ

Vize je navrhnut uzavřenou převodovou skříň. Jednotlivé převody by byly realizovány pomocí čelních ozubených kol s přímými zuby. Převodová skříň by byla součástí rámu bicyklu a byla by uložena ve středu bicyklu. Energie pro pohon zadního kola se přesune ze středu k zadnímu kolu pomocí hřídele a dvou kuželových soukolí nebo ozubeného řemene či řetězu, ale tak, aby byl zamezen styk poháněného ústrojí s okolním prostředím. Celá převodová soustava (všechna ozubená kola i hřídele) by měla pracovat v olejové lázni. Mazání bude zajištěno rozstříkem oleje. Schéma uspořádání a uložení převodovky je na Obr. 12. Vize je, aby převodové ústrojí pracovalo v náročných podmínkách, jaké představuje např. bláto nebo sníh (viz. Obr. 13).



Obr. 12 Schéma uspořádání a uložení převodovky



Obr. 13 Náročné podmínky – bláto a sníh (zdroj vlastní)

### 3.1 POŽADAVKY NA NAVRHOVANÉ PŘEVODY HPV

- Vysoká spolehlivost
- Bezúdržbovost po co nejdelší dobu
- Odolnost proti náročným podmínkám
- Jednoduchá možnost sundání zadního kola
- Rovnoměrné odstupňování převodů
- Jednoduché ovládání
- Chci konstrukčně zabránit tomu, aby se zkrátila životnost, popřípadě omezila funkčnost nesprávnou obsluhou
- Řazení při záběru oběma směry
- Nízká hlučnost
- Nechci navrhnout automatickou převodovku
- Konstrukčně zabránit nechtěné možnosti posunu uchycení zadního kola v rámu
- Ideálně řadit pomocí táhel a pák (nikoliv pomocí lanek)

### 3.2 KONCEPTY ŘAZENÍ

Uvedu zde tři možnosti, které jsem vymyslel a dále nepoužil. První dva koncepty jsem opustil kvůli složitosti a celkové šířce převodové skříně. Poslední koncept není funkční, nicméně je v něm schovaná myšlenka a dalo by se na ni navázat.

Společné pro všechny koncepty je, že v převodové skříni ve středu rámu kola budou dvě hřídele, na kterých budou čtyři páry ozubených soukolí. Na jedné hřídeli budou tato ozubená kola pevně s hřídelí spojena. Na druhé hřídeli se kola budou volně otáčet a nějakým způsobem se vždy spojí jen jedno ozubené kolo s hřídelí. Chtěl jsem se vyhnout řazení pomocí ocelových lanek. V záběru musí být samozřejmě vždy jen jedno soukolí.

U některých motocyklů se používají převodovky, kde se ke spojení hřídele a ozubeného kola používají kuličky, viz. Obr. 14. Ty jsou postupně vytlačovány trnem do polohy, kde zůstanou v kontaktu s hřídelí i s příslušným ozubeným kolem a zajistí přenos točivého momentu. (23)

Toto řešení jsem použil u druhého a třetího konceptu a dále i u vlastního konstrukčního návrhu.

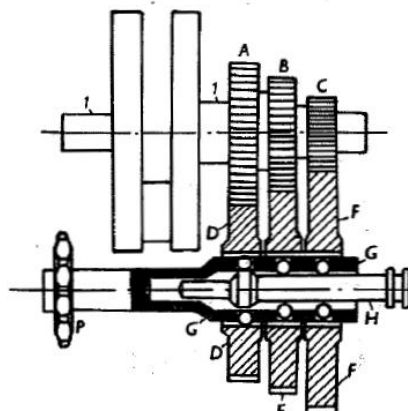


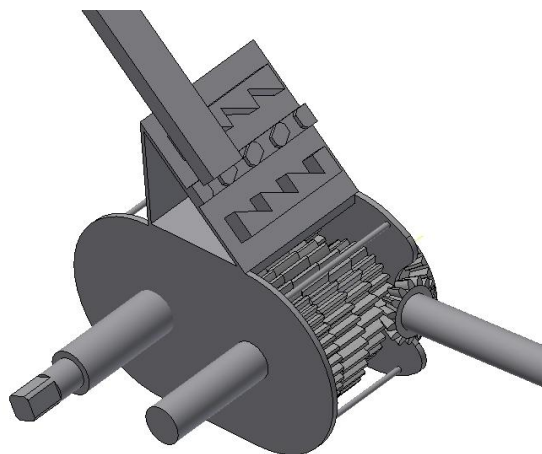
Schéma převodovky s aretací kol kuličkami:

- I – klikový hřidel,
- A, B, C – hnací pevná kola,
- D, E, F – hnaná kola,
- G – vrtaný hnaný hřidel,
- H – tyč s aretačním dvojkuželem,
- P – řetězové kolo hnaného hřidele

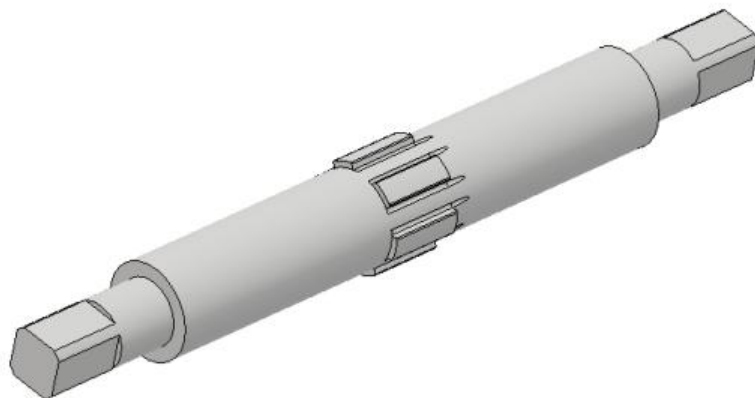
Obr. 14 Schéma převodovky s aretací kol kuličkami (23)

### 3.2.1 KONCEPT Č. 1

Řadicí ústrojí tvoří tyče (táhla), páky a posuvná klec. Posuvná klec se skládá z rámu a řadicích tvarových prvků (viz. Obr. 15). V rámu jsou uložena ozubená kola s čelními zuby (celkem osm kol). Posuvná klec umožňuje axiální posuv po hnací i předlohou hřídeli. Při posuvu se posouvají všechna ozubená kola uvnitř klece. Hnací hřídel má drážkování pouze na části hřídele dlouhé přesně jako je šířka jednoho ozubeného kola (viz. Obr. 16). Předlohou hřídel má drážkování pod všemi ozubenými koly. Zde jsou všechna čtyři ozubená kola stále v záběru. Všechna ozubená kola jsou stejně široká. Při posuvu posuvné klece se vždy na hnací hřídel vyřadí jedno ozubené kolo ze záběru a na jeho pozici se dostane sousední ozubené kolo.



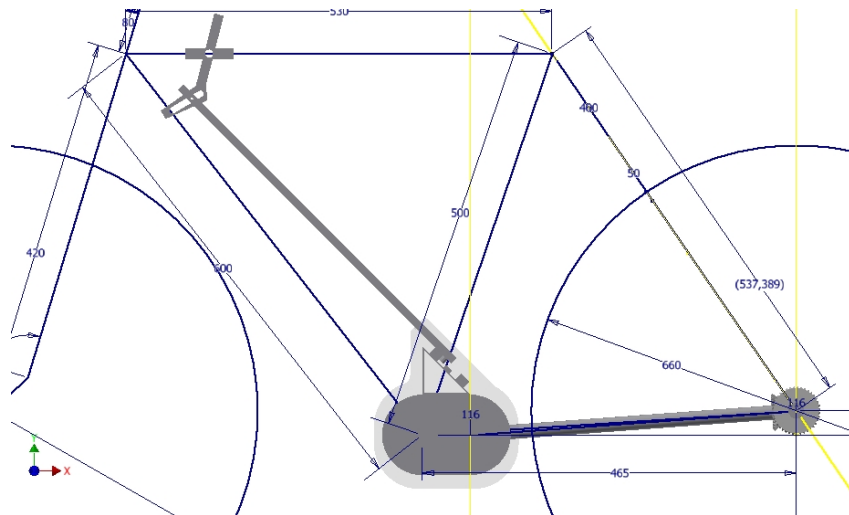
Obr. 15 Koncept č. 1 - posuvná klec a řadicí tvarové prvky



Obr. 16 Hnací hřídel s krátkým drážkováním

Na horní části posuvné klece se nachází tvarové prvky, jež zabezpečují pohyb klece v axiálním směru vždy o jeden krok (o jeden převod) a také fixují daný převodovový stupeň.

Poslední část řazení tvoří táhlo a páka, pomocí kterých cyklista řadí. Řazení bylo sekvenční. Schematicky je vše vidět na Obr. 17.



Obr. 17 Schéma táhla a páky řazení

### Výhody konceptu č. 1:

- Ochrana převodů proti náročným podmínkám
- Řazení pomocí táhel je méně náročné na údržbu vůči systémům s lanky
- Sekvenční řazení – jednoduchost

**Nevýhody konceptu č. 1:**

- Hmotnost a velikost celého řešení
- Není možno řadit v záběru
- Mnoho dílů, celková složitost
- Velká šířka převodové skříně

**3.2.2 KONCEPT Č. 2**

Čtyři ozubená kola jsou s hnací hřídelí spojena pevně (např. pomocí pera). Předlohouvá hřídel je dutá a ke spojování hřídele a daného ozubeného kola by se využíval systém kuličky viz. Obr. 14.

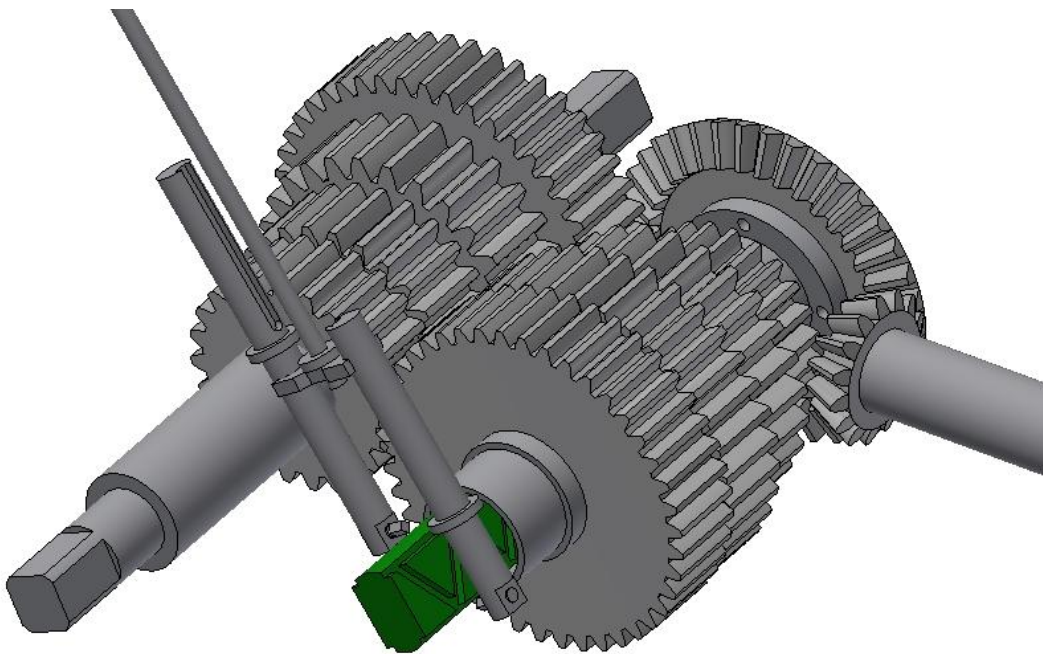
Hrubý návrh konceptu je na Obr. 18. Ovládání řazení by bylo podobně jako u konceptu č. 1, tedy táhlem a pákou. Opět by se jednalo o sekvenční řazení. Ovládací tyč by měla na sobě šikmé drážky, ve kterých by jezdily kolíky a posouvaly podle potřeby ovládací tyč.

**Výhody konceptu č. 2:**

- Ochrana převodů proti náročným podmínkám
- Řazení pomocí táhel je méně náročné na údržbu vůči systémům s lankami
- Sekvenční řazení – jednoduchost
- Možnost řazení v záběru

**Nevýhody konceptu č. 2:**

- Hmotnost a velikost celého řešení
- Mnoho dílů, celková složitost
- Velká šířka převodové skříně

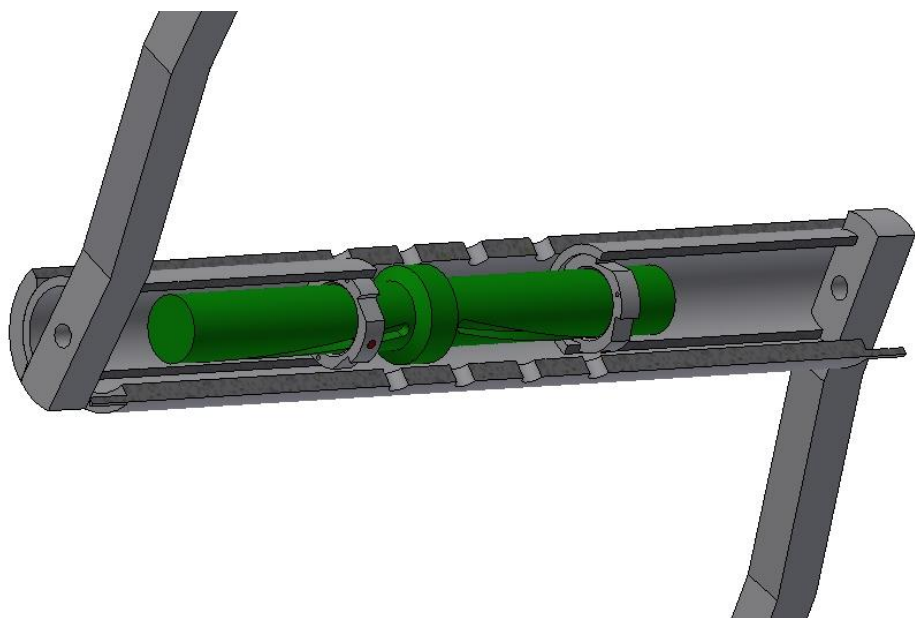


Obr. 18 Koncept č. 2

### 3.2.3 KONCEPT Č. 3

Tento koncept spočívá v řazení pouze nohami. Opět by se využívalo ke spojení hnací hřídele s ozubeným kolem systému s kuličkou. Nepoužívala by se však ani řadicí lanka ani žádné tyče a páky. Přeřazení rychlosti by probíhalo šlápnutím proti sobě.

Cyklista by vždy začal s řazením, když by měl obě nohy ve stejné výšce nad zemí. V tomto okamžiku má vždy bud' levou nohu vpředu a pravou vzadu nebo opačně. Podle postavení nohou by se zařadil vždy vyšší, respektive nižší, rychlostní stupeň. Samotné řazení by probíhalo tak, že by cyklista šlápnul oběma nohami dolů. Konstrukčně by bylo umožněno, aby se v tomto okamžiku o nějaký úhel natočily klyky proti sobě. Přitom by jedna strana držela polohu a druhá by otočila vnitřní trubkou, dále sepnula volnoběžný kroužek a ten by posunul přes spirálu ovládací tyč. Schéma konceptu je na Obr. 19, ale pozor, tento koncept není funkční.



Obr. 19 Koncept č. 3

## 4 VLASTNÍ KONSTRUKČNÍ NÁVRH

Navrhuji řešení dvou převodových skříní, které jsou přišroubovány k rámu. Pohon bude realizovaný výhradně jen pomocí hřídelí. Převody budou uskutečňovány pomocí ozubených kol s čelními zuby a pomocí kuželových soukolí. Obě převodové skříně budou obsahovat olejovou lázeň. Mazání bude zajištěno rozstříkem oleje. Celkový pohled na vlastní konstrukční návrh je na Obr. 20.



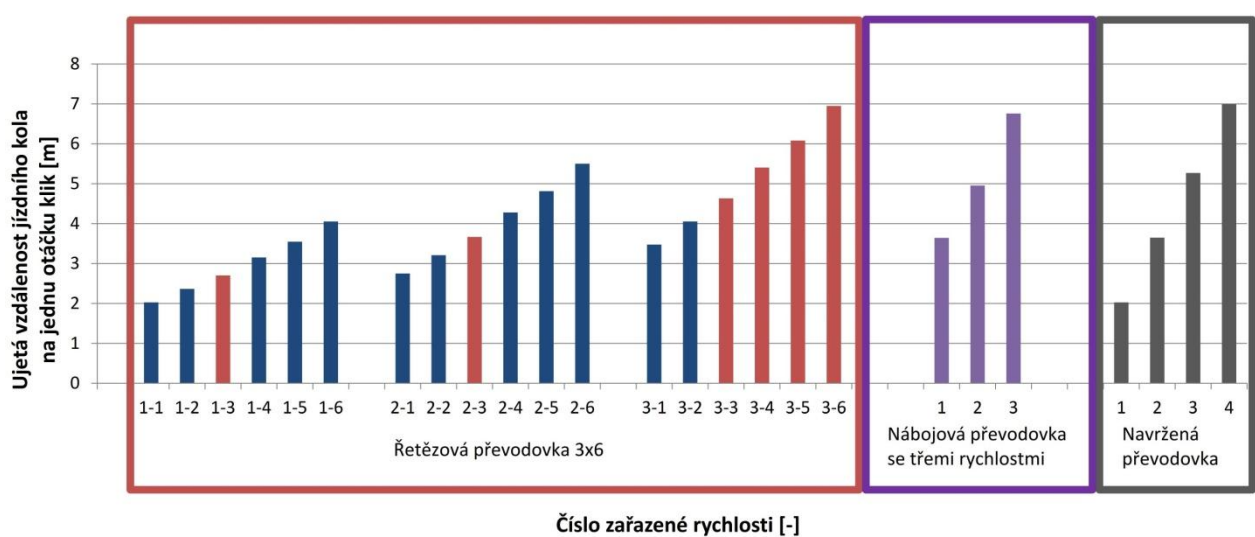
Obr. 20 Vlastní konstrukční návrh - celkový pohled

### 4.1 STANOVENÍ POČTU PŘEVODŮ

Vycházel jsem ze dvou převodovek, na nichž jsem osobně najezdil mnoha kilometrů. V Tab. 1 je uvedeno porovnání řetězové převodovky  $3 \times 6$ , nábojové převodovky se třemi rychlostmi a mojí navrženou převodovkou. Niže v Graf 1 je situace zachycena ještě graficky. V červeném rámečku je řetězová převodovka  $3 \times 6$ . Červeně jsem vyznačil rychlosti, jež jsem nejčastěji používal při akceleraci z nulové rychlosti na maximální rychlosť na rovném asfaltovém povrchu. Ve fialovém rámečku je nábojová převodovka se třemi rychlostmi. Poslední, šedý rámeček, představuje mnou navrženou převodovku. Navrhuji čtyři rychlosti s rozsahem převodů 345%.

Řetězová převodovka 3x6					
Zařazená rychlost [-]	Počet zubů na převodníku [-]	Počet zubů na kazetě [1]	u - poměr počtu zubů [1]	Ujetá vzdálenost za otáčku klíky [m]	Rozsah převodů [%]
1-1	28	28	1,00	2,03	
1-2		24	0,86	2,36	
1-3		21	0,75	2,70	
1-4		18	0,64	3,15	
1-5		16	0,57	3,55	
1-6		14	0,50	4,05	
2-1	38	28	0,74	2,75	343
2-2		24	0,63	3,21	
2-3		21	0,55	3,67	
2-4		18	0,47	4,28	
2-5		16	0,42	4,81	
2-6		14	0,37	5,50	
3-1	48	28	0,58	3,47	
3-2		24	0,50	4,05	
3-3		21	0,44	4,63	
3-4		18	0,38	5,41	
3-5		16	0,33	6,08	
3-6		14	0,29	6,95	
Nábojová převodovka se třemi rychlostmi					
Zařazená rychlost [-]	Stálý převod [-]	Vnitřní převodový poměr [-]	Celkový převodový poměr [-]	Ujetá vzdálenost za otáčku klíky [m]	Rozsah převodů [%]
1	0,41	1,36	0,56	3,64	186
2		1	0,41	4,95	
3		0,733	0,30	6,76	
Navržená převodovka					
Zařazená rychlost [-]			Celkový převodový poměr [-]	Ujetá vzdálenost za otáčku klíky [m]	Rozsah převodů [%]
-	-	-			
1	-	-	1	2,03	345
2	-	-	0,56	3,65	
3	-	-	0,38	5,27	
4	-	-	0,29	6,99	

Tab. 1 Porovnání převodovek



Graf 1 Porovnání převodovek

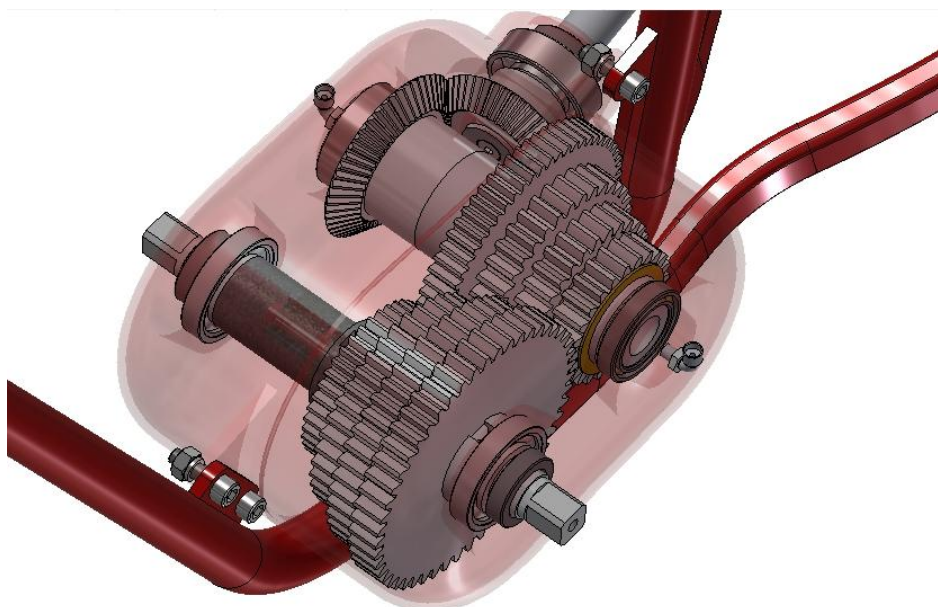
## 4.2 POPIS KONSTRUKCE PŘEVODOVÉHO ÚSTROJÍ

První převodová skříň (viz. Obr. 21) je pomocí čtyř šroubů přišroubována k rámu jízdního kola. Je umístěna uvnitř rámu. Podobně tak bývá umístěn spalovací motor u motocyklů. Převodová skříň se skládá ze dvou odlitků z lehké slitiny, jež jsou k sobě přišroubovány pomocí čtyř šroubů. Hnací hřídel má na koncích čtyřhran, na který se nasazují kliky. Dále ještě vystupují z převodové skříně dvě přípojky na řadicí lanka.



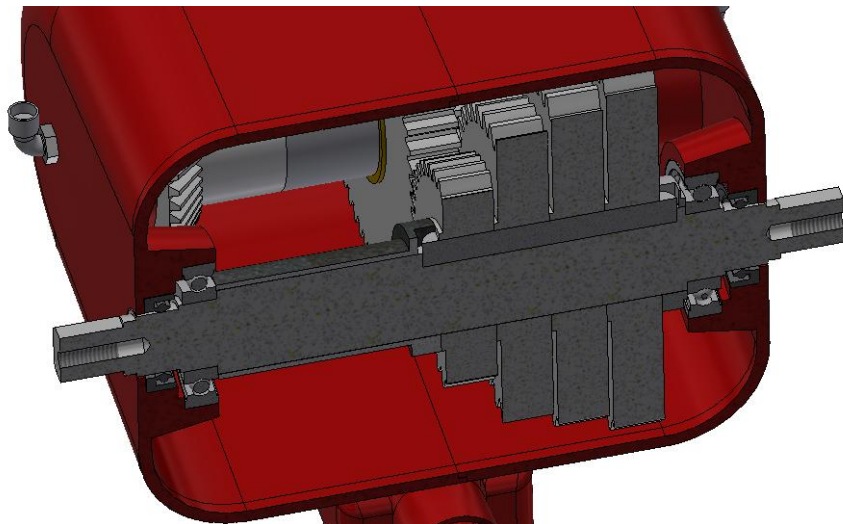
Obr. 21 První převodová skříň

Uvnitř převodové skříně (viz. Obr. 22) jsou čtyři páry ozubených kol s přímými zuby, které jsou umístěny na vstupní a předlohouhé hřídeli. Dále je zde jedno kuželové soukolí, které vystupuje z převodové skříně.



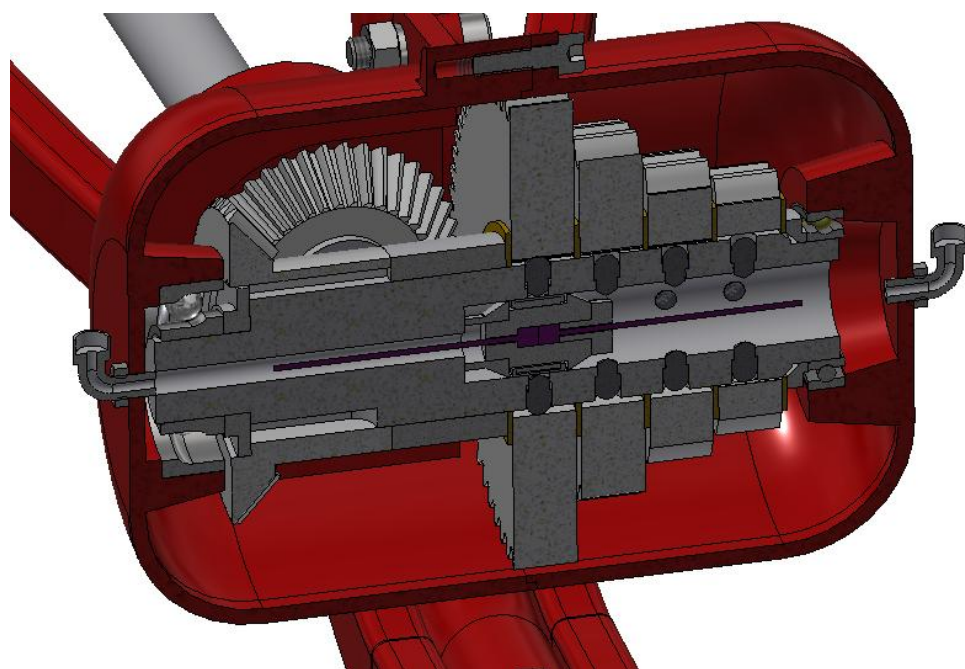
Obr. 22 První převodová skříň – pohled dovnitř

Řez hnací hřidelí je na Obr. 23. Zleva se skládá z hřidelového těsnícího kroužku, radiálního kuličkového ložiska, rozpěrné trubky, čtyřech ozubených kol s přímými zuby, jež jsou spojeny s hřidelí pomocí pera. Dále následuje opět rozpěrná trubka, kuličkové radiální ložisko a hřidelový těsnící kroužek. Na obou čelních plochách jsou závity pro jistící šrouby klik.



Obr. 23 Řez hnací hřidelí

Na Obr. 24 je řez předlohou hřidelí. Předlohou hřidel je dutá. Z vnějšku je zleva kuličkové ložisko s kosouhlým stykem, podložka, perem připojené kuželové ozubené kolo, rozpěrná trubka, dále pět kluzných axiálních ložisek, mezi nimiž jsou čtyři ozubená kola, opět rozpěrná trubka a radiální kuličkové ložisko. Z čelních ploch převodové skříně vystupují na obou stranách v ose předlohou hřidele vodítka pro lanka řazení. Na obrázku jsou lanka fialovou barvou.

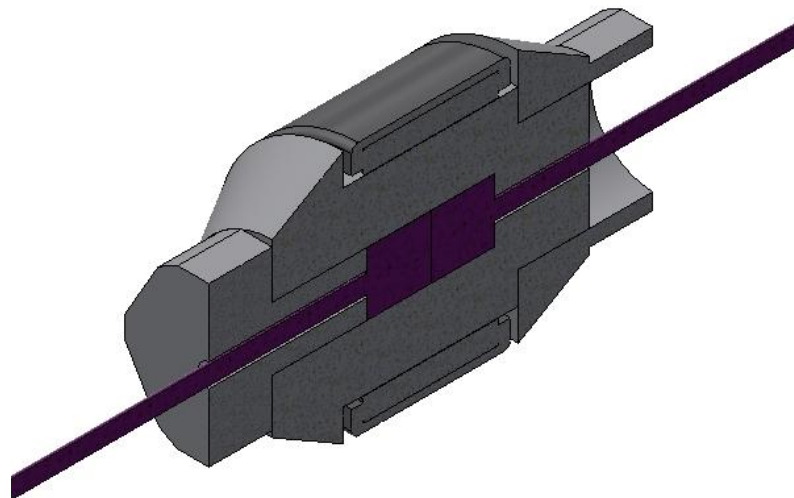


Obr. 24 Řez předlohou hřidelí

Spojení potřebného ozubeného kola s hřidelí je vždy zajištěno čtyřmi pohyblivými západkovými kolíky. Ty jsou vytlačovány jezdcem řazení (Obr. 25). Jezdec řazení se skládá z těla, jehlového ložiska, levé a pravé matice. Ložisko umožňuje otáčení své vnější plochy spolu s ozubeným kolem a hřidelí. Tělo jezdce řazení se přitom neotáčí a nedochází ke kroucení řadicích lanek.

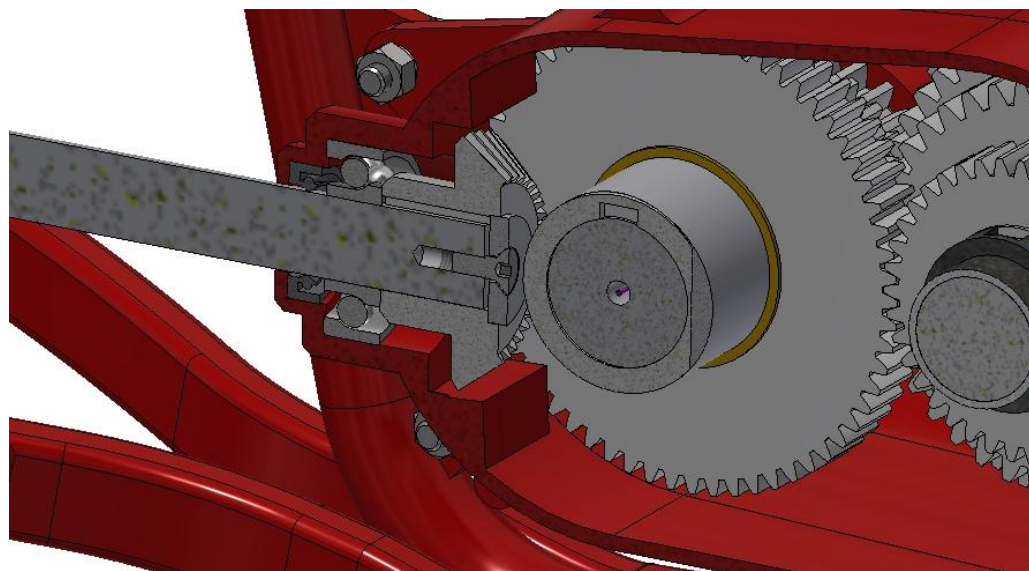
#### Montáž jezdce řazení probíhá následovně:

- Vloží se dvě řadicí lanka do tělesa
- Utáhne se levá matici
- Nasadí se jehlové ložisko
- Utáhne se pravá matici



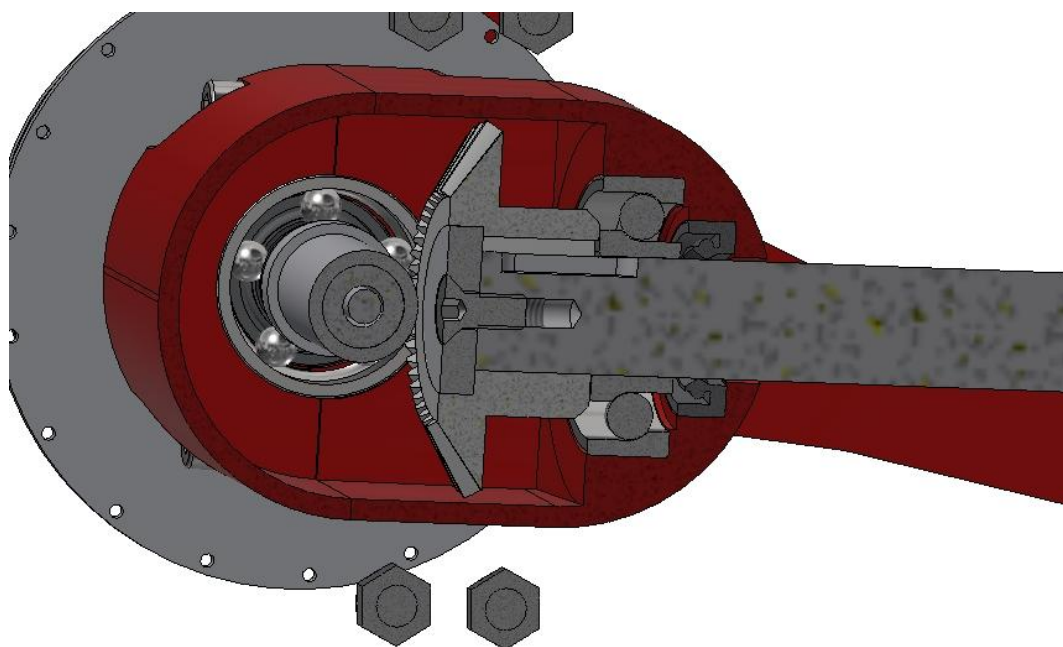
Obr. 25 Jezdec řazení

Na předlohou hřidel navažuje podélná hřídel, jež spojuje první a druhou převodovou skříň. Konec hřídele v první převodové skříni se skládá z přítlačné podložky, šroubu, perem uchyceného kuželového ozubeného kola, kuličkového ložiska s kosoúhlým stykem a hřidelovým těsnícím kroužkem (viz. Obr. 26).



Obr. 26 Konec podélné hřídele v první převodové skříni

Konec podélné hřídele v druhé převodové skříni je řešený obdobně jako v první převodové skříni (viz. Obr. 27).

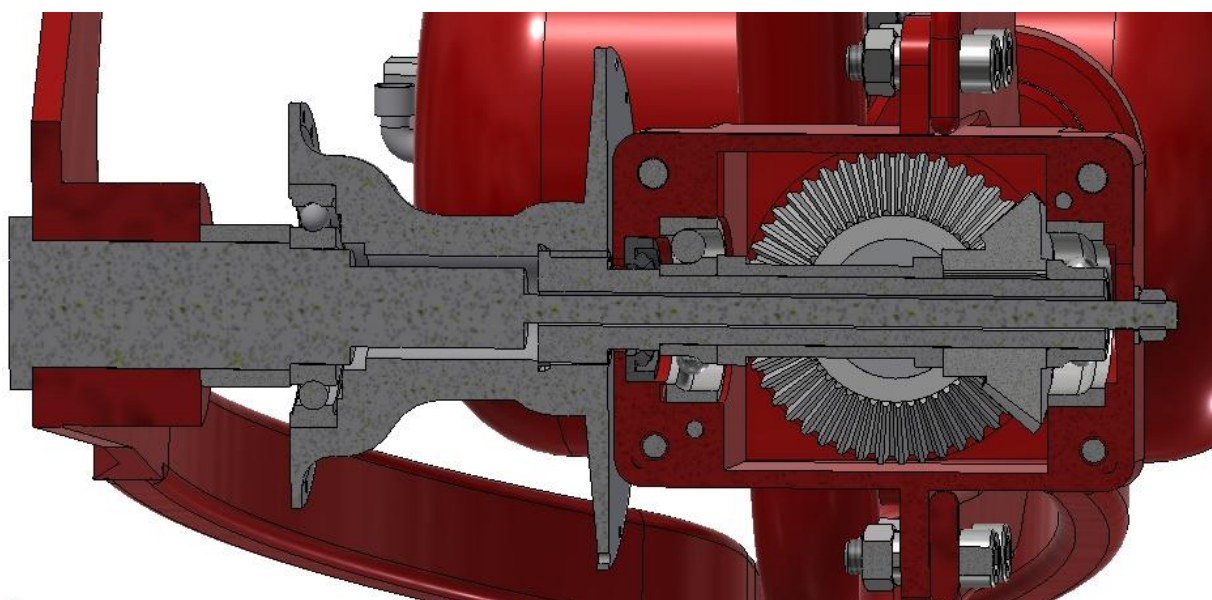


Obr. 27 Konec podélné hřídele ve druhé převodové skříni

#### Popis řezu zadní osou (viz. Obr. 28):

- Zadní převodová skříň je k rámu kola uchycena pomocí čtyř šroubů, podložek a matic
- Poháněná zadní hřídel je dutá

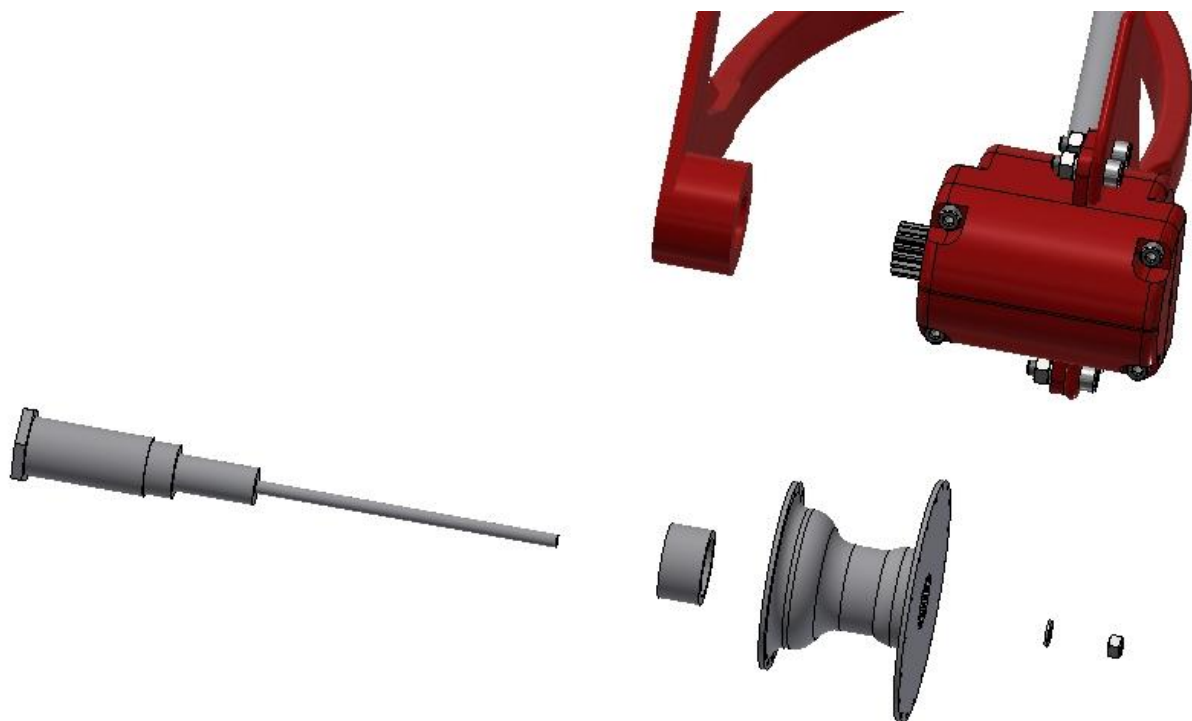
- Kuželové ozubené kolo má v díře šest šikmých drážek, ve kterých jsou umístěny válečky, jedná se o volnoběžný systém
- Na poháněné zadní hřídeli jsou dvě kuličková ložiska s kosoúhlým stykem, jeden hřídelový těsnící kroužek a mezi ozubeným kuželovým kolem a ložiskem je rozpěrná trubka
- Výstupní část poháněné zadní hřídele má drážkování
- Náboj kola má také na pravé straně drážkovanou část, kterou se připojuje na poháněnou zadní hřídel
- Na levé straně náboje je kuličkové radiální ložisko
- Středem prochází osa, která nerotuje
- Osa je vlevo uchycena v rámu kola, dále je na ní nasazena rozpěrná trubka, dále prochází pod celým nábojem a osou zadní poháněné hřídele až ven ze zadní převodové skříně, kde se nachází podložka a matice



Obr. 28 Řez zadní osou

Výše popsaná konstrukce umožňuje relativně snadno vyjmutí zadního kola z rámu bicyklu při případném defektu. Postup rozebrání je na Obr. 29 a skládá se z těchto úkonů:

- Povolení matice na pravé straně
- Sundání podložky
- Vytáhnutí osy
- Při vytahování osy vypadne rozpěrná trubka
- Sejmout náboje s vypleteným zadním kolem



Obr. 29 Vyjmutí kola z rámu při případném defektu

#### 4.3 SMYSL OTÁČENÍ

Na Obr. 30 je znázorněno, jakými směry se budou při šlapání otáčet hřídele.



Obr. 30 Smysl otáčení hřídel

## 5 PEVNOSTNÍ VÝPOČTY

Ozubené převody jsem kontroloval podle normy ČSN 01 4686 (24). Tato norma má pět částí. Nejprve se provádí návrhový výpočet, dále se provádí zjednodušený kontrolní výpočet a nakonec se počítá úplný kontrolní výpočet. V této diplomové práci uvádím zjednodušený kontrolní výpočet.

Trvalý výkon cyklisty volím  $P = 100W$ . Frekvenci šlapání volím  $n = 60min^{-1}$ . Maximální špičkový krátkodobý výkon volím  $P_{max} = 700W$  při frekvenci šlapání  $n_{max} = 100min^{-1}$ .

Krouticí moment:

$$T_1 = \frac{P}{2 \cdot \pi \cdot n} \quad (1)$$

$$T_1 = \frac{100W}{2 \cdot \pi \cdot \frac{60min^{-1}}{60}} \cong 15915Nmm$$

Maximální krouticí moment:

$$T_{1max} = \frac{700W}{2 \cdot \pi \cdot \frac{100min^{-1}}{60}} \cong 66845Nmm$$

### 5.1 ZJEDNODUŠENÝ KONTROLNÍ VÝPOČET PRVNÍHO ČELNÍHO SOUKOLÍ

Kvůli zástavovým rozměrům volím šířky ozubených kol  $b_{wH} = 12mm$ , modul  $m_n = 1,5mm$  a počty zubů  $z_1 = 39$  a  $z_2 = 62$ .

Ozubená kola volím z materiálu 15 230. Tento materiál bude ve výchozím stavu zušlechtěný a ozubená kola budou nitridována. Materiálové vlastnosti zvolené oceli jsou:

$$R_m = 800MPa$$

$$R_e = 600MPa$$

$$V_{HV} = 800HV3$$

$$\sigma_{Hlim} = 1180MPa$$

$$\sigma_{Flimb} = 705MPa$$

### 5.1.1 VÝPOČET PASTORKU

Roztečná kružnice:

$$d_1 = m_n \cdot z_1 \quad (2)$$

$$d_1 = 1,5\text{mm} \cdot 39 = 58,5\text{mm}$$

Zatěžující obvodová síla:

$$F_{t1} = \frac{2 \cdot T_1}{d_1} \quad (3)$$

$$F_{t1} = \frac{2 \cdot 15915\text{Nmm}}{58,5\text{mm}} \cong 544,1\text{N}$$

Maximální obvodová tečná síla:

$$F_{t1max} = \frac{2 \cdot 66845\text{Nmm}}{58,5\text{mm}} \cong 2285,3\text{N}$$

Poměr počtu zubů:

$$u_{12} = \frac{z_2}{z_1} \quad (4)$$

$$u_{12} = \frac{62}{39} \cong 1,59$$

### KONTROLA PROTI ÚNAVĚ V DOTYKU (24)

$$Z_E = 190 \quad \text{podle tab. 6 ČSN 01 4686 část 3 (1988)}$$

$$Z_H = 2,5 \quad \text{podle obr. 1 ČSN 01 4686 část 3 (1988)}$$

$$Z_\varepsilon = 0,9 \quad \text{podle obr. 2 ČSN 01 4686 část 3 (1988)}$$

$$\sigma_{H0} = Z_E \cdot Z_H \cdot Z_\varepsilon \cdot \sqrt{\frac{F_{t1}}{b_{WH} \cdot d_1} \cdot \frac{u_{12} + 1}{u_{12}}} \quad (5)$$

$$\sigma_{H0} = 190\text{MPa} \cdot 2,5 \cdot 0,9 \cdot \sqrt{\frac{544,1\text{N}}{12\text{mm} \cdot 58,5\text{mm}} \cdot \frac{1,59 + 1}{1,59}} \cong 480,4\text{MPa}$$

$$K_A = 1,35 \quad \text{podle tab. 3 až 5 ČSN 01 4686 část 2 (1988)}$$

$$K_{H\beta} = 1,14 \quad \text{podle obr. 1 ČSN 01 4686 část 4 (1988)}$$

$$K_{H\alpha} \cdot K_{H\nu} = 1,2 \quad \text{zjednodušený předpoklad podle normy ČSN 01 4686 část 4 (1998)}$$

$$K_H = K_A \cdot K_{H\beta} \cdot K_{H\alpha} \cdot K_{H\nu} \quad (6)$$

$$K_H = 1,35 \cdot 1,14 \cdot 1,2 \cong 1,85$$

$$Z_R = 0,85 \quad \text{pro nebroušené boky zubů}$$

$$S_{Hmin} = \frac{\sigma_{Hlim} \cdot Z_R}{\sigma_{H0} \cdot \sqrt{K_H}} \quad (7)$$

$$S_{Hmin} = \frac{1180 \text{ MPa} \cdot 0,85}{480,4 \text{ MPa} \cdot \sqrt{1,85}} \approx 1,54$$

Norma povoluje minimální bezpečnost  $S_{Hmin} = 1,3$ . Ozubené kolo vyhovuje ( $1,3 < 1,54$ ).

#### **KONTROLA PROTI DEFORMACI NEBO KŘEHKÉMU LOMU POVRCHOVÉ VRSTVY BOKU ZUBU JEDNORÁZOVÝM PŮSOBENÍM NEJVĚTŠÍHO ZATÍŽENÍ (24)**

$$\sigma_{Hmax} = \sigma_{H0} \cdot \sqrt{\frac{F_{t1max} \cdot K_H}{F_{t1}}} \leq \sigma_{HPmax} \quad (8)$$

$$\sigma_{Hmax} = 480,4 \text{ MPa} \cdot \sqrt{\frac{2285,3 \text{ N} \cdot 1,85}{544,1 \text{ N}}} \cong 1339,1 \text{ MPa}$$

Pro nitridovaná ozubená kola:

$$\sigma_{HPmax} = 3 \cdot V_{HV} \quad (9)$$

$$\sigma_{HPmax} = 3 \cdot 800 \cong 2400 \text{ MPa}$$

Ozubené kolo vyhoví, neboť je splněna podmínka  $\sigma_{Hmax} \leq \sigma_{HPmax}$  ( $1339,1 \text{ MPa} \leq 2400 \text{ MPa}$ ).

#### **KONTROLA PROTI ÚNAVĚ V OHYBU (24)**

$$K_A = 1,35 \quad \text{podle tab. 3 až 5 ČSN 01 4686 část 2 (1988)}$$

$$K_{F\beta} = K_{H\beta} = 1,14 \quad \text{podle obr. 1 ČSN 01 4686 část 4 (1988)}$$

$$K_{F\alpha} \cdot K_{F\nu} = 1,2 \quad \text{zjednodušený předpoklad podle normy ČSN 01 4686 část 4 (1998)}$$

$$K_F = K_A \cdot K_{F\beta} \cdot K_{F\alpha} \cdot K_{F\nu} \quad (10)$$

$$K_F = 1,35 \cdot 1,14 \cdot 1,2 \cong 1,85$$

$$Y_{FS} = 4,27 \quad \text{podle obr. 6 až 8 ČSN 01 4686 část 3 (1988)}$$

$Y_\beta = 1$  podle obr. 16 ČSN 01 4686 část 3 (1988)

$Y_\varepsilon = \frac{1}{\varepsilon_\alpha}$  podle výrazu (93) v tab. 5 ČSN 01 4686 část 3 (1988)

$$S_{Fmin} = \frac{\sigma_{Flimb} \cdot b_{WF} \cdot m_n}{F_{t1} \cdot K_F \cdot Y_{FS} \cdot Y_\beta \cdot Y_\varepsilon} \quad (11)$$

$$S_{Fmin} = \frac{705MPa \cdot 12mm \cdot 1,5mm}{544,1N \cdot 1,85 \cdot 4,25 \cdot 1 \cdot \frac{1}{1,75}} \cong 5,2$$

Norma povoluje minimální bezpečnost  $S_{Fmin} = 1,4$ . Ozubené kolo vyhovuje ( $1,4 < 5,2$ ).

#### KONTROLA PROTI TRVALÉ DEFORMACI ČI VZNIKU POČÁTEČNÍCH TRHLIN V OBLASTI PATY ZUBU NEBO KŘEHKÉHO LOMU ZUBU JEDNORÁZOVÝM PŮSOBENÍM NEJVĚTŠÍHO ZATÍŽENÍ (24)

$$\sigma_F = \frac{F_{t1}}{b_{WF} \cdot m_n} \cdot K_F \cdot Y_{FS} \cdot Y_\beta \cdot Y_\varepsilon \quad (12)$$

$$\sigma_F = \frac{544,1N}{12mm \cdot 1,5mm} \cdot 1,85 \cdot 4,25 \cdot 1 \cdot \frac{1}{1,75} \cong 135,8MPa$$

Pro nitridované oceli:

$$\sigma_{FSt} = 1,6 \cdot \sigma_{Flimb} \quad (13)$$

$$\sigma_{FSt} = 1,6 \cdot 705MPa = 1128MPa$$

$$\sigma_{FPmax} = 0,8 \cdot \sigma_{FSt} \quad (14)$$

$$\sigma_{FPmax} = 0,8 \cdot 1128MPa = 902,4MPa$$

$$\sigma_{Fmax} = \sigma_F \cdot \frac{F_{t1max}}{F_{t1}} \leq \sigma_{FPmax} \quad (15)$$

$$\sigma_{Fmax} = 135,8MPa \cdot \frac{2285,3N}{544,1N} = 570,4MPa$$

Ozubené kolo vyhovuje, neboť  $\sigma_{Fmax} \leq \sigma_{FPmax}$  ( $570,4MPa \leq 902,4MPa$ ).

#### 5.1.2 VÝPOČET KOLA

Roztečná kružnice:

$$d_2 = 1,5mm \cdot 62 = 93mm$$

**KONTROLA PROTI ÚNAVĚ V DOTYKU (24)**

$$Z_E = 190 \quad \text{podle tab. 6 ČSN 01 4686 část 3 (1988)}$$

$$Z_H = 2,5 \quad \text{podle obr. 1 ČSN 01 4686 část 3 (1988)}$$

$$Z_\varepsilon = 0,9 \quad \text{podle obr. 2 ČSN 01 4686 část 3 (1988)}$$

$$\sigma_{H0} = 190 \cdot 2,5 \cdot 0,9 \cdot \sqrt{\frac{544,1N}{12mm \cdot 93mm}} \cdot \frac{1,59 + 1}{1,59} \cong 381 MPa$$

$$K_A = 1,35 \quad \text{podle tab. 3 až 5 ČSN 01 4686 část 2 (1988)}$$

$$K_{H\beta} = 1,14 \quad \text{podle obr. 1 ČSN 01 4686 část 4 (1988)}$$

$$K_{H\alpha} \cdot K_{H\nu} = 1,2 \quad \text{zjednodušený předpoklad podle normy ČSN 01 4686 část 4 (1998)}$$

$$K_H = 1,35 \cdot 1,14 \cdot 1,2 \cong 1,85$$

$$Z_R = 0,85 \quad \text{pro nebroušené boky zubů}$$

$$S_{Hmin} = \frac{1180 MPa \cdot 0,85}{381 MPa \cdot \sqrt{1,85}} \approx 1,94$$

Norma povoluje minimální bezpečnost  $S_{Hmin} = 1,3$ . Ozubené kolo vyhovuje ( $1,3 < 1,94$ ).

**KONTROLA PROTI DEFORMACI NEBO KŘEHKÉMU LOMU POVRCHOVÉ VRSTVY BOKU ZUBU JEDNORÁZOVÝM PŮSOBENÍM NEJVĚTŠÍHO ZATÍŽENÍ (24)**

$$\sigma_{Hmax} = \sigma_{H0} \cdot \sqrt{\frac{F_{t1max} \cdot K_H}{F_{t1}}} \leq \sigma_{HPmax} \quad (16)$$

$$\sigma_{Hmax} = 381 MPa \cdot \sqrt{\frac{2285,3N \cdot 1,85}{544,1N}} \cong 1062 MPa$$

Ozubené kolo vyhoví, neboť je splněna podmínka  $\sigma_{Hmax} \leq \sigma_{HPmax}$  ( $1062 MPa \leq 2400 MPa$ ).

**KONTROLA PROTI ÚNAVĚ V OHYBU (24)**

$$K_A = 1,35 \quad \text{podle tab. 3 až 5 ČSN 01 4686 část 2 (1988)}$$

$$K_{F\beta} = K_{H\beta} = 1,14 \quad \text{podle obr. 1 ČSN 01 4686 část 4 (1988)}$$

$$K_{F\alpha} \cdot K_{F\nu} = 1,2 \quad \text{zjednodušený předpoklad podle normy ČSN 01 4686 část 4 (1998)}$$

$$K_F = 1,35 \cdot 1,14 \cdot 1,2 \cong 1,85$$

$$Y_{FS} = 4,27 \quad \text{podle obr. 6 až 8 ČSN 01 4686 část 3 (1988)}$$

$$Y_\beta = 1 \quad \text{podle obr. 16 ČSN 01 4686 část 3 (1988)}$$

$$Y_\varepsilon = \frac{1}{\varepsilon_\alpha} \quad \text{podle výrazu (93) v tab. 5 ČSN 01 4686 část 3 (1988)}$$

$$S_{Fmin} = \frac{705MPa \cdot 12mm \cdot 1,5mm}{544,1N \cdot 1,85 \cdot 4,27 \cdot 1 \cdot \frac{1}{1,75}} \cong 5,2$$

Norma povoluje minimální bezpečnost  $S_{Fmin} = 1,4$ . Ozubené kolo vyhovuje ( $1,4 < 5,2$ ).

#### **KONTROLA PROTI TRVALÉ DEFORMACI ČI VZNIKU POČÁTEČNÍCH TRHLIN V OBLASTI PATY ZUBU NEBO KŘEHKÉHO LOMU ZUBU JEDNORÁZOVÝM PŮSOBENÍM NEJVĚTŠÍHO ZATÍŽENÍ (24)**

$$\sigma_F = \frac{544,1N}{12mm \cdot 1,5mm} \cdot 1,85 \cdot 4,27 \cdot 1 \cdot \frac{1}{1,75} \cong 136,4MPa$$

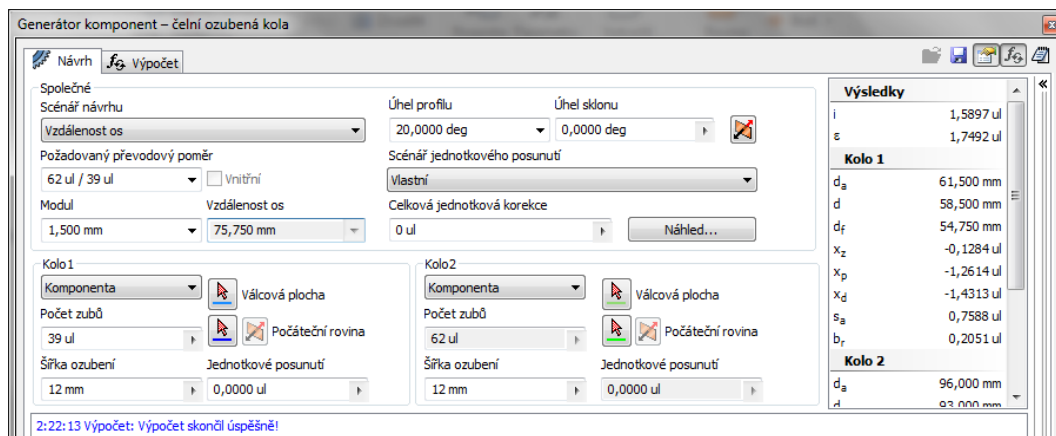
$$\sigma_{Fmax} = 136,4MPa \cdot \frac{2285,3N}{544,1N} = 572,9MPa$$

Ozubené kolo vyhovuje, neboť  $\sigma_{Fmax} \leq \sigma_{FPmax}$  ( $572,9MPa \leq 902,4MPa$ ).

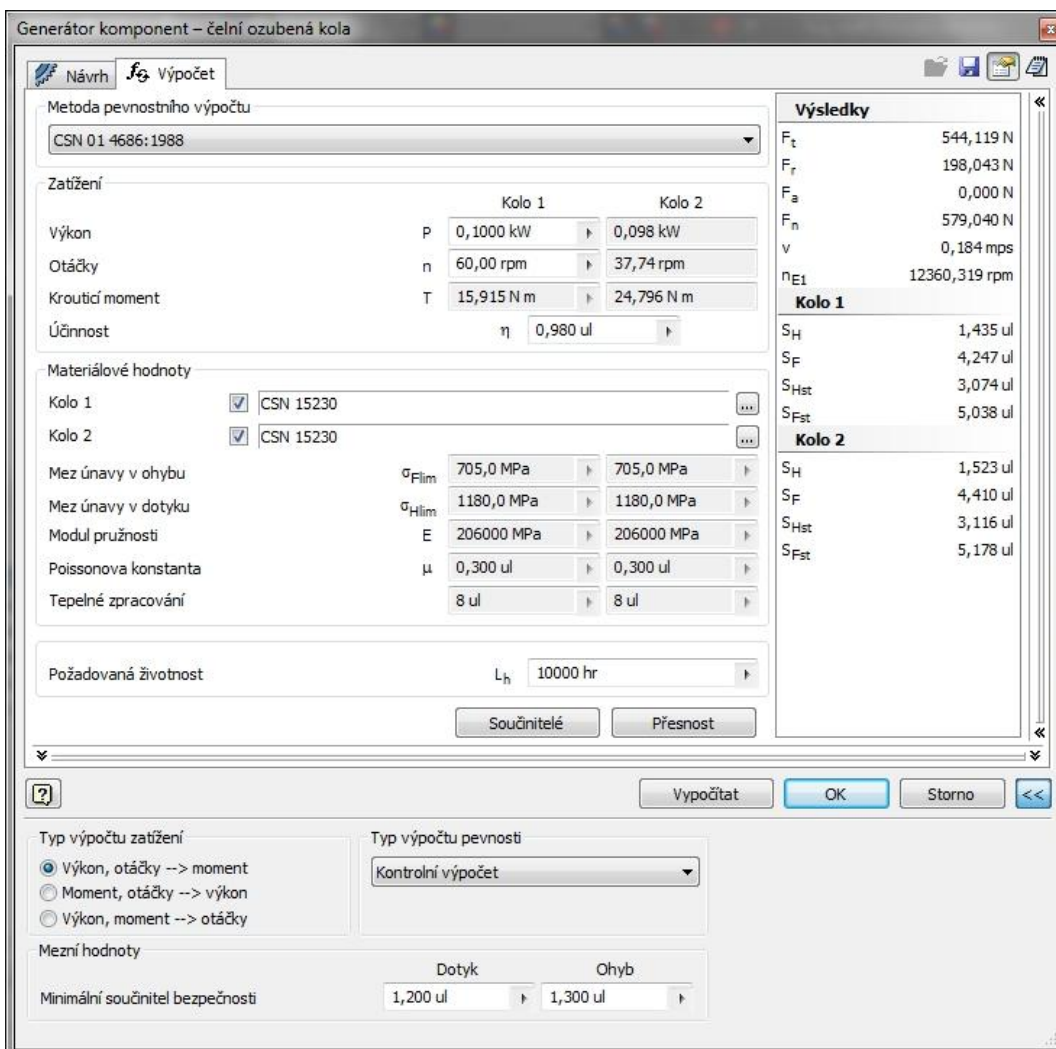
#### **5.1.3 VÝPOČTY DALŠÍCH OZUBENÝCH KOL**

Další ozubená kola (čelní i kuželová soukolí) jsem pevnostně zkontoval v programu Autodesk Inventor Professional 2017. Tento program má možnost počítat ozubená kola i podle normy ČSN 01 4686. Pro kontrolu jsem provedl i výpočet prvního soukolí, jež jsem počítal v kapitole 5.1.1 a 5.1.2.

## 1. ČELNÍ SOUKOLÍ

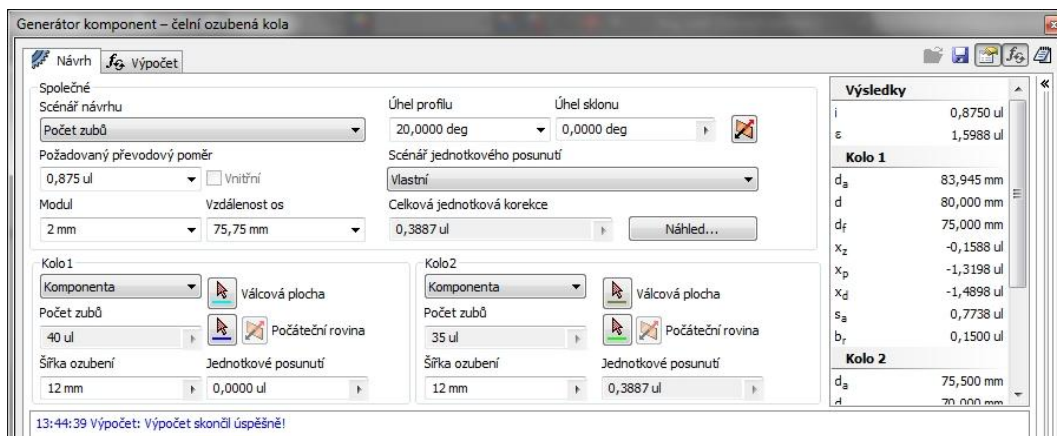


Obr. 31 1. čelní soukoli – návrh

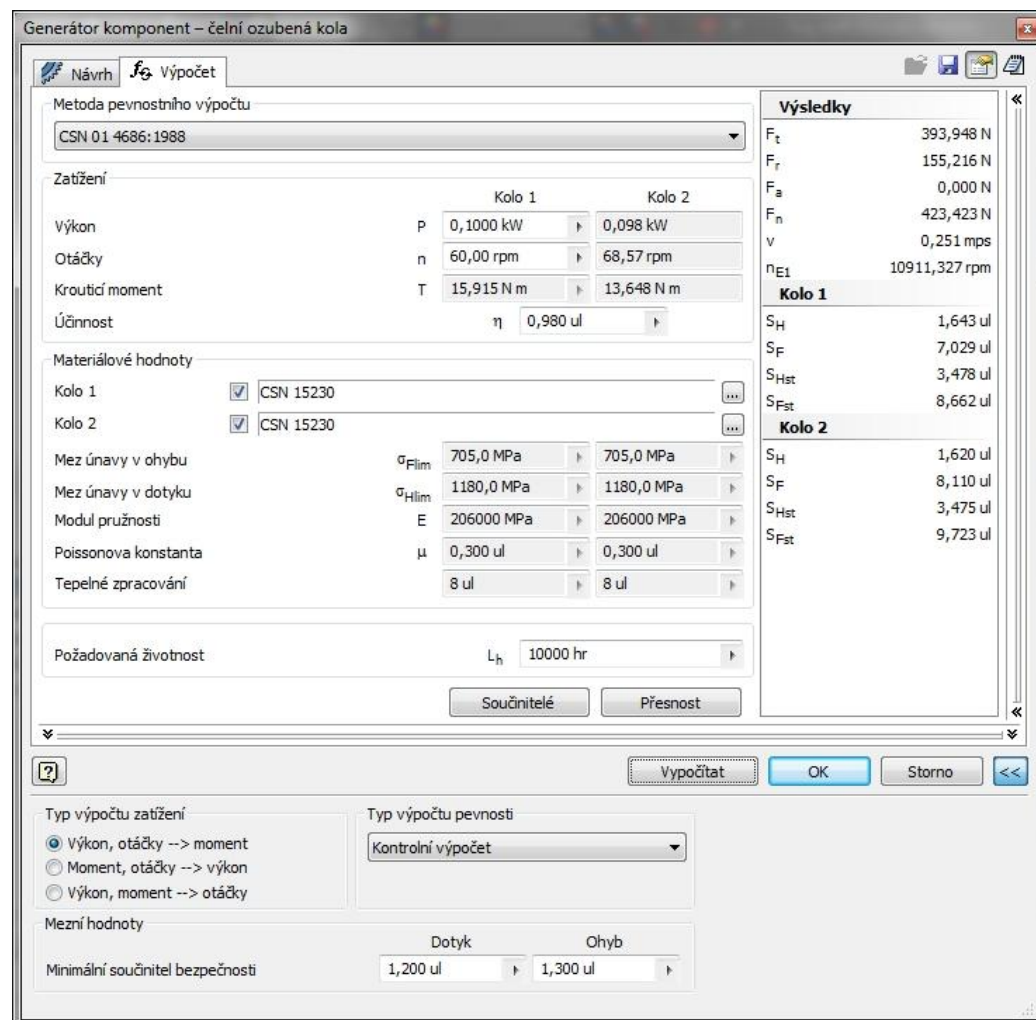


Obr. 32 1. čelní soukoli -výpočet

## 2. ČELNÍ SOUKOLÍ

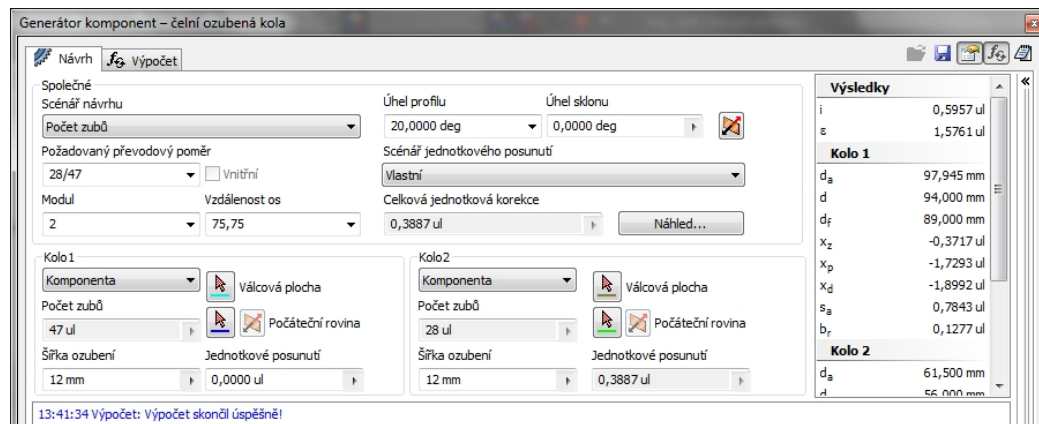


Obr. 33 2. čelní soukolí - návrh

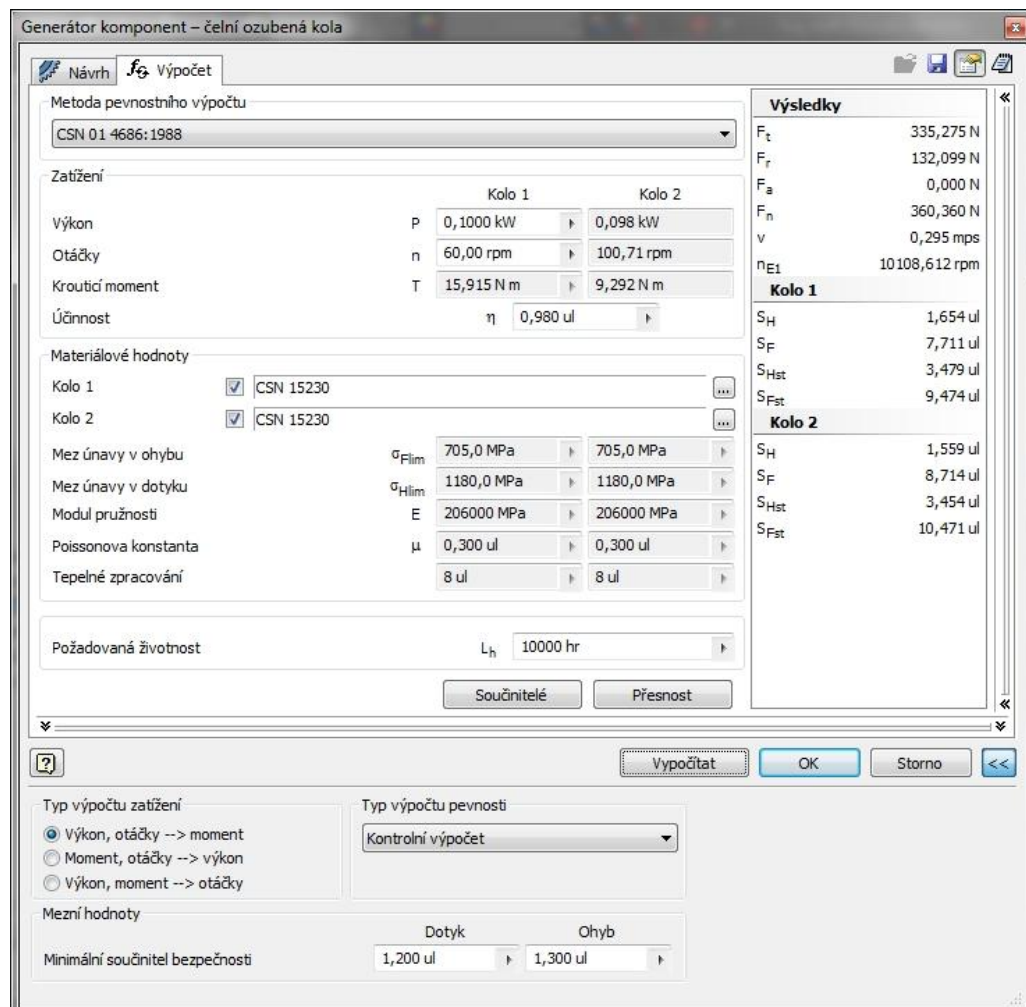


Obr. 34 2. čelní soukolí -výpočet

### 3. ČELNÍ SOUKOLÍ

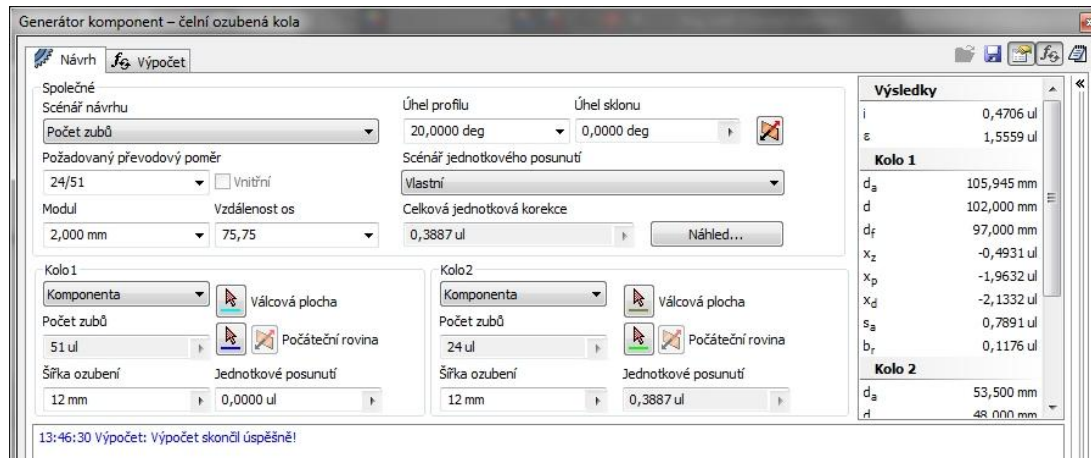


Obr. 35 3. čelní soukoli - návrh

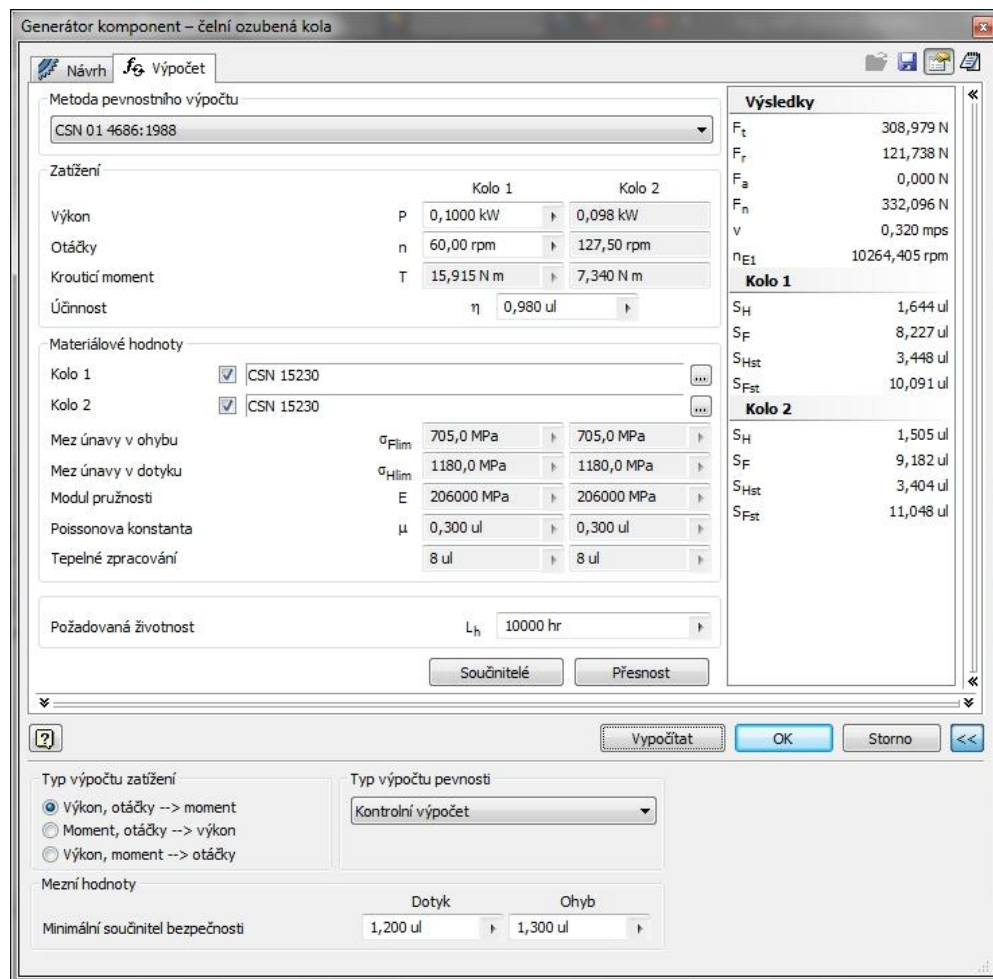


Obr. 36. 3 čelní soukoli -výpočet

#### 4. ČELNÍ SOUKOLÍ

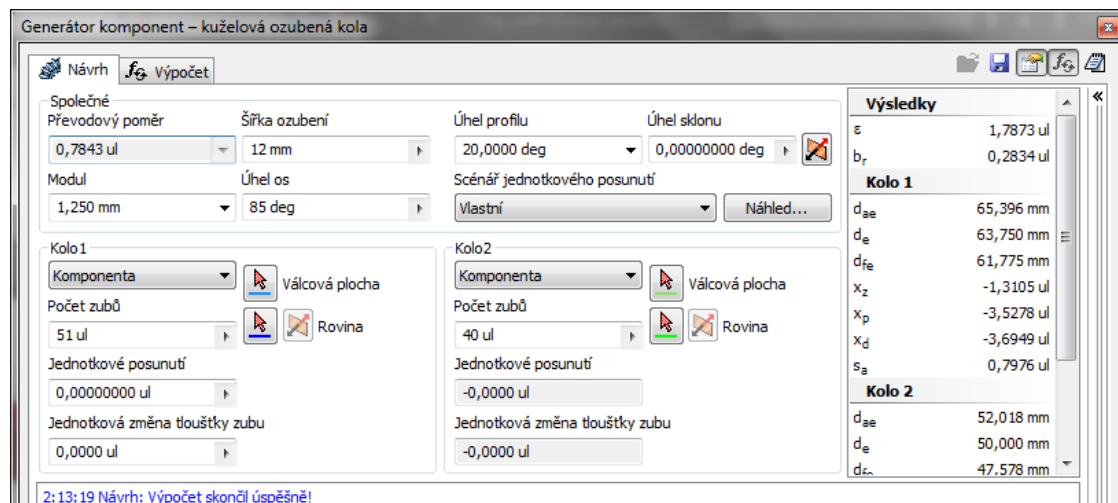


Obr. 37 4. čelní soukolí - návrh

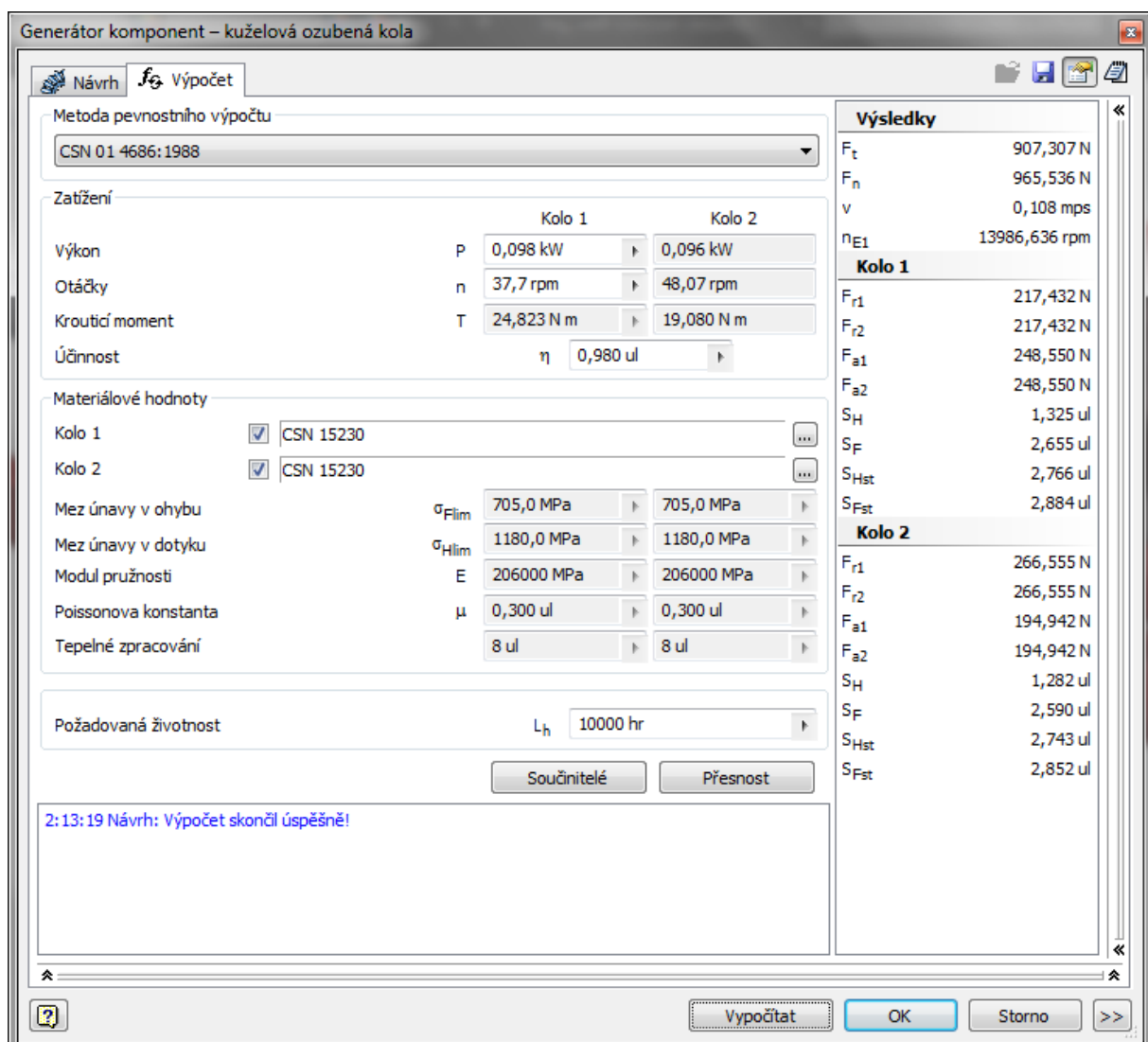


Obr. 38. 4. čelní soukolí -výpočet

## 1. KUŽELOVÉ SOUKOLÍ

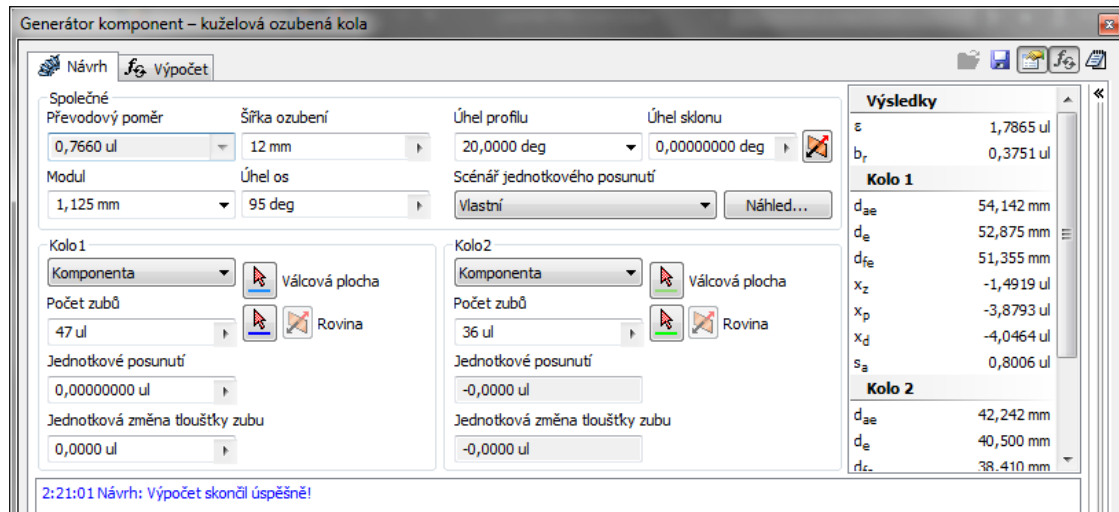


Obr. 39 1. kuželové soukolí - návrh

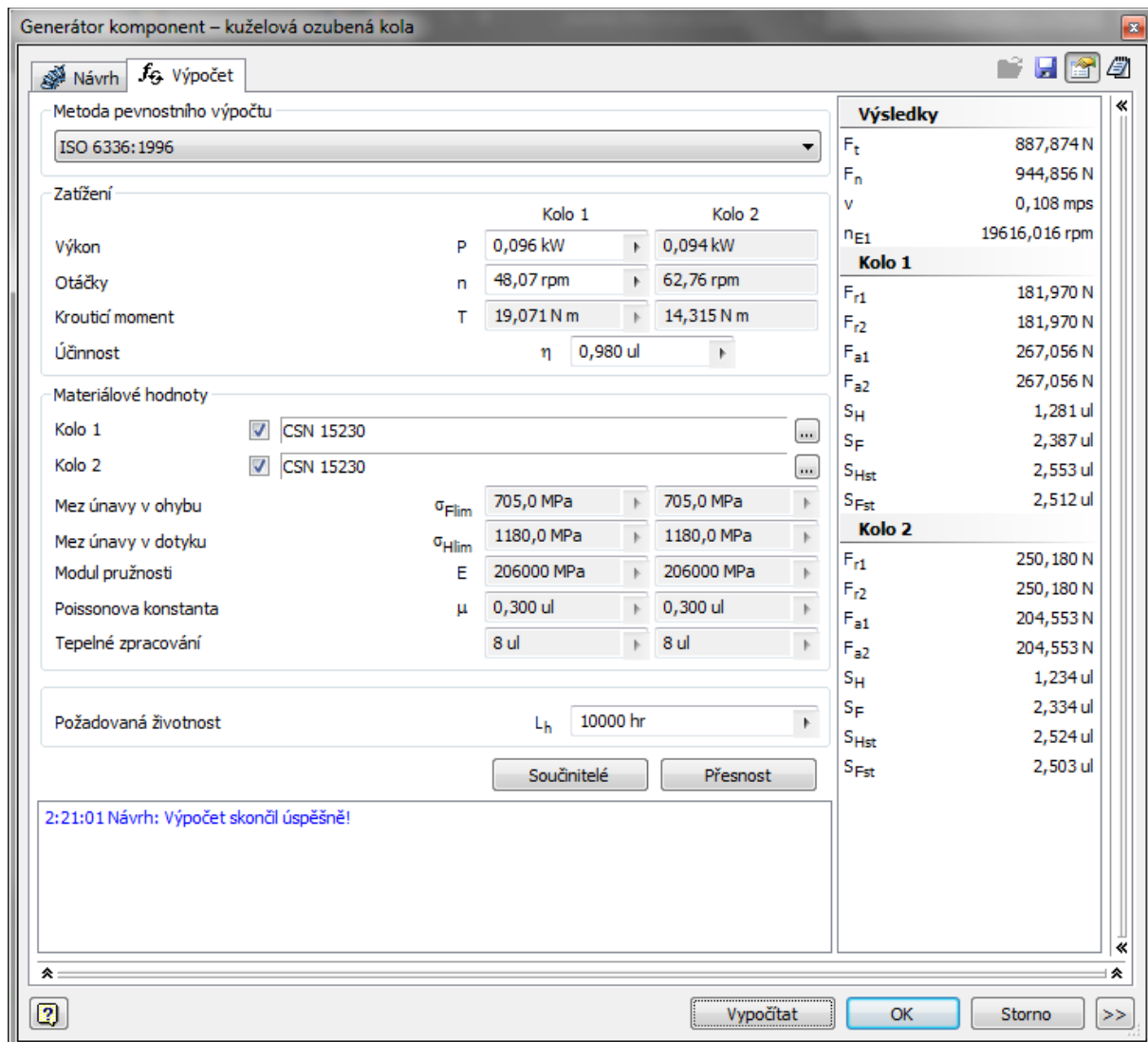


Obr. 40. 1. kuželové soukolí -výpočet

## 2. KUŽELOVÉ SOUKOLÍ



Obr. 41 2. kuželové soukoli - návrh



Obr. 42 2. kuželové soukoli -výpočet

## 5.2 NÁVRH MINIMÁLNÍHO PRŮMĚRU HNACÍ HŘÍDELE

Hnací hřidel volím z materiálu 11 700. Dovolené napětí v krutu je pro míjivé zatížení  $\tau_{KD} = 80$  až  $125 MPa$ . (25)

Výpočet minimálního průměru hřidele:

$$d_{HHmin} = \sqrt[3]{\frac{16 \cdot T_{1max}}{\pi \cdot \tau_{KD}}} \quad (17)$$

$$d_{HHmin} = \sqrt[3]{\frac{16 \cdot 66845 Nmm}{\pi \cdot 125 MPa}} \cong 13,97 mm$$

Konec hřidele volím průměru  $16 mm$ . Spojení klik s hřidelí je zajištěno pomocí tvarového spoje. Na konci hřidele je frézován čtyřhran. Rozměry čtyřhranu volím  $13 \times 13$ . Průřez pod čtyřhranem bude menší než  $d_{HHmin}$ , ale nedojde k porušení hřidele. Jednak hodnota  $\tau_{KD}$  je uváděna s bezpečností  $1,5 - 2$ , jednak  $T_{1max}$  je horní limitní krouticí moment, ke kterému se v reálném provozu cyklista nebude přibližovat.

## ZÁVĚR

Navržené převodové ústrojí je z hlediska uživatelského příznivé v odolnosti proti náročným podmínkám, dále umožňuje relativně jednoduchou demontáž zadního kola při případném defektu. Konstrukčně je zabráněno případnému nechtěnému vyosení zadního kola v rámu. Řazení umožňuje měnit rychlosti při záběru. Umožňuje také řazení na místě (cyklista se nemusí pohybovat, nemusí šlapat). Je také znemožněno zkrácení životnosti nesprávnou obsluhou. Práce ozubených soukolí v uzavřené převodové skříni zabezpečuje dlouhou životnost a prakticky žádnou údržbu. Tímto jsem splnil záměr, aby převodové ústrojí bylo bezúdržbové po co nejdélší dobu. Navržené čtyři možné převody jsou odstupňovány tak, aby se cyklistovi pohodlně jelo do strmého kopce i z kopce nebo na rovině.

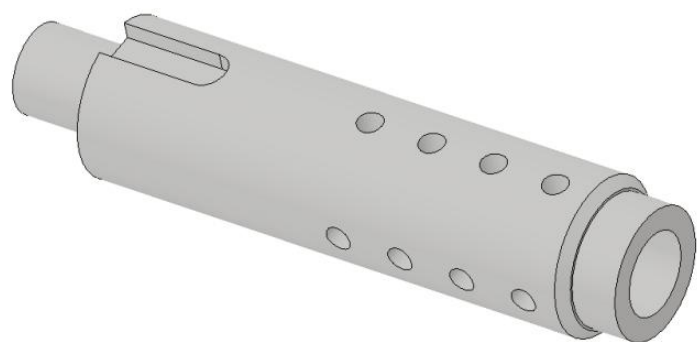
Navržené konstrukční řešení má celou řadu nedostatků a není dotaženo do úplného konce. Poskytuje však jasnou představu o konstrukci a dalo by se z něho případně vycházet.

V konstrukčním návrhu chybí ovládání řazení na řídítkách. Představu ale mám o otočném řazení, které by fixovalo danou rychlosť bud' systémem kulička/pružina nebo třením, popřípadě tvarovým stykem. Dále úplně chybí stanovení množství oleje pro obě převodové skříně, chybí vypouštěcí i napouštěcí otvory, popřípadě řešení odvětrávání skříní.

Mezi nevýhody zajisté patří vysoká hmotnost (nemám vyčísleno). Jsem přesvědčený, že by šel tento konstrukční návrh odlehčit. Mnoho dílů (např. různých rozpěrných trubek je předimenzováno). Dále jsou nevhodně umístěna vodítka pro lanka řazení. Přesně v těchto místech bude mít cyklista nohy a mohl by o vodítka a o lanka narážet. U každé hřídele, která vystupuje z převodové skříně, je použito hřidelového těsnícího kroužku, ale těsnění není u vodítka pro lanka a dále u matice u zadní osy. V těchto místech by mohl olej prosakovat a vzlínat ven z převodových skříní. Obávám se, že převodové ústrojí bude relativně hlučné. Je zde totiž mnoho ozubených kol. Kola čelní s přímými zuby jsou relativně hlučná a kuželová soukolí jsou náročná na přesnost uložení. Při případném vychýlení se hlučnost zvyšuje. Uchycení každé převodové skříně je pomocí čtyř šroubů. Použil jsem klasické šrouby s vnitřním šestihranem, pružnou podložkou a maticí. Toto řešení umožňuje před dotažením malé změny polohy převodových skříní. Možná by bylo ale lepší kvůli kuželovým soukolím, použít lícované šrouby a otvory přesně tolerovat. Celkově nejsem spokojený s použitím lanek řazení. Nejvíce se mně líbí nepoužitý a nefunkční koncept č. 3, viz. kapitola 3.2.3.

Obě kuželová soukolí jsou převodována do rychla. Toto řešení směrem od cyklisty k poháněnému zadnímu kolu stále více zatěžuje stojní součásti. Případným opačným řešením (kuželová soukolí převodována do pomala) by se odlehčilo strojním součástem.

Z pevnostních výpočtů jsou největším přínosem v této diplomové práci pevnostní výpočty ozubených kol s přímými zuby, viz. kapitola 5.1.1 a 5.1.2. Dále jsem provedl pouze výpočet minimálního průměru hnací hřídele. Navrhnuté převodové ústrojí obsahuje mnoho dílů. Pevnostní výpočty jsou náročné a složité. Například optimalizace a pevnostní kontrola předložové hřídele (viz. Obr. 43) by byla na samostatnou práci.



*Obr. 43 Předlohouvá hřídel*

## Použité informační zdroje

1. Leonardo da Vinci's Tank. *Leonardo Da Vinci's Inventions*. [Online] [Citace: 19. 5 2018.] Dostupné z: <http://www.leonardodavincisinventions.com/war-machines/leonardo-da-vincis-tank/>.
2. Leonardo by zajásal, vzlétla člověkem poháněná helikoptéra. *TÝDEN.cz*. [Online] 27. 6 2012. [Citace: 19. 5 2018.] Dostupné z: [https://www.tyden.cz/rubriky/veda/technologie/leonardo-by-zajasal-vzletla-clovekem-pohanena-helikoptera\\_238654.html](https://www.tyden.cz/rubriky/veda/technologie/leonardo-by-zajasal-vzletla-clovekem-pohanena-helikoptera_238654.html).
3. **Eliáš, Pavel.** *JÍZDNÍ KOLO - vynález, který sbližil svět*. Liberec : Pavel Eliáš, 2017. ISBN 978-80-270-1147-6.
4. ŘETĚZY - KAZETY, PŘEVODNÍKY. *Cyklo ATOM*. [Online] [Citace: 22. 5 2018.] Dostupné z: <http://www.horska-silnicni-kola.cz/show-free.htm?fid=39>.
5. *JÍZDNÍ KOLA Velký obrazový průvodce*. Praha : Euromedia Group, k. s. - Knižní klub v edici Universum, 2017. ISBN 978-80-242-5813-3.
6. **SPICER, James.** *Pedal Power Probe Shows Bicycles Waste Little Energy*. [Online] 19. 8 1999. [Citace: 16. 11 2016.] Dostupné z: [http://pages.jh.edu/~news\\_info/news/home99/aug99/bike.html](http://pages.jh.edu/~news_info/news/home99/aug99/bike.html).
7. Řemen místo řetězu. *Cyklo ATOM*. [Online] [Citace: 22. 5 2018.] Dostupné z: [http://www.horska-silnicni-kola.cz/Remen-misto-retezu-c18\\_222\\_2.htm](http://www.horska-silnicni-kola.cz/Remen-misto-retezu-c18_222_2.htm).
8. **Baroni, Francesco.** *BICYKL HISTORIE, MÝTY, POSEDLOST*. Čestlice : Rebo Productions CZ, spol. s r. o., 2011. ISBN 978-80-255-0459-8.
9. Rozsah převodu náboje Rohloff SpeedHub 500/14. *Rohloff*. [Online] [Citace: 22. 5 2018.] Dostupné z: <http://rohloff.cz/rozsah-prevodu.php>.
10. Rohloff. *Rohloff SPEEDHUB Schnittmodell*. [Online] [Citace: 22. 5 2018.] Dostupné z: [https://www.rohloff.de/en/service/downloads/product-pictures/detail/item/rohloff-speedhub-schnittmodell/?tx\\_fefal\\_detailview%5Baction%5D=show&tx\\_fefal\\_detailview%5Bcontroller%5D=Fefaldetail&cHash=fcc6601c294dd59b938d6f777b734b53](https://www.rohloff.de/en/service/downloads/product-pictures/detail/item/rohloff-speedhub-schnittmodell/?tx_fefal_detailview%5Baction%5D=show&tx_fefal_detailview%5Bcontroller%5D=Fefaldetail&cHash=fcc6601c294dd59b938d6f777b734b53).
11. NuVinci CYCLING. [Online] 2005-2017. [Citace: 5. 1 2017.] Dostupné z: <http://www.nuvincicycling.com/en/home.html>.
12. NuVinci-Fahrradnabe: Schalten ohne Gänge. *Stiftung Warentest*. [Online] 27. 7 2007. [Citace: 7. 2 2017.] Dostupné z: <https://www.test.de/NuVinci-Fahrradnabe-Schalten-ohne-Gaenge-1556162-0/>.
13. Pinion. [Online] [Citace: 28. 11 2016.] Dostupné z: <http://pinion.eu/>.
14. Toerfietsen. [Online] 14. 6 2008. [Citace: 8. 2 2017.] Dostupné z: <http://www.rijwiel.net/fietsen/pho/67329.htm>.

15. Early Strida c1920? *Strida Forum*. [Online] [Citace: 8. 2 2017.] Dostupné z: <http://www.stridaforum.com/forum/viewtopic.php?f=6&t=3738>.
16. Truvativ HammerSchmidt AM Crankset. *SRAM*. [Online] [Citace: 28. 11 2016.] Dostupné z: <https://www.sram.com/truvativ/products/truvativ-hammerschmidt-am-crankset>.
17. *Cyklopedie: 90 let moderního designu jízdních kol*. Praha : Slovart, 2011. ISBN 978-80-7391-434-9.
18. 1913/1914 Chainless Rover Roadster. <http://www.oldbike.eu/>. [Online] [Citace: 19. 5 2018.] Dostupné z: <http://www.oldbike.eu/museum/1912-1913/19131914-chainless-rover-roadster/>.
19. WORLDSCAPE CO. Aitelen Chainless. *DOROTHEUM*. [Online] [Citace: 7. 2 2017.] Dostupné z: <https://www.dorotheum.com/en/auctions/current-auctions/kataloge/list-lots-detail/auktion/11198-bicycles-from-the-embacher-collection/lotID/77/lot/1872772-worldscape-co-aitelen-chainless.html?currentPage=2&img=3>.
20. TECHNICAL MANUAL GEAR HUB SYSTEMS. *SRAM*. [Online] 2003. [Citace: 8. 2 2017.] Dostupné z: [https://sram-cdn-pull-zone-gsdesign.netdna-ssl.com/cdn/farfuture/vjPsbsR8PgjFRe13175\\_WciuS8tOvnUXXtFC1w8N0wQ/mtime:1372788156/sites/default/files/techdocs/tm\\_ghs\\_my03\\_e.pdf](https://sram-cdn-pull-zone-gsdesign.netdna-ssl.com/cdn/farfuture/vjPsbsR8PgjFRe13175_WciuS8tOvnUXXtFC1w8N0wQ/mtime:1372788156/sites/default/files/techdocs/tm_ghs_my03_e.pdf).
21. SRAM DD3-27. *SRAM*. [Online] [Citace: 8. 2 2017.] Dostupné z: <https://www.sram.com/sram/urban/products/sram-dd3-27>.
22. "Luxury" Hirondelle retro-directe – Francie 1920 cca. Štěrba. [Online] [Citace: 23. 11 2016.] Dostupné z: <http://www.sterba-bike.cz/produkt/luxury-hirondelle-retro-directe-francie-1920-cca>.
23. **HUSÁK, Pavel**. *Motocykly s dvoudobým motorem: konstrukce, výpočty a stavba motocyklů*. Brno : Computer Press, 2011. ISBN 978-80-251-2280-8.
24. ČSN 01 4686. *Pevnostní výpočet čelních a kuželových ozubených kol*. Praha : ČESKÝ NORMALIZAČNÍ INSTITUT, 1989.
25. **Jan Leinveber, Pavel Vávra**. *STROJNICKÉ TABULKY pomocná učebnice pro školy technického zaměření*. Úvaly : Albra, 2006. ISBN 80-7361-033-7.

## SEZNAM POUŽITÝCH ZKRATEK A SYMBOLŮ

P	[W]	Trvalý výkon cyklisty
n	[min <sup>-1</sup> ]	Frekvence šlapání cyklisty
P <sub>max</sub>	[W]	Maximální výkon cyklisty
n <sub>max</sub>	[min <sup>-1</sup> ]	Maximální frekvence šlapání cyklisty
d <sub>1</sub>	[mm]	Roztečná kružnice pastorku prvního čelního soukolí
T <sub>1</sub>	[Nmm]	Krouticí moment
T <sub>1max</sub>	[Nmm]	Maximální krouticí moment
F <sub>t1</sub>	[N]	Zatěžující obvodová síla
F <sub>t1max</sub>	[N]	Maximální zatěžující obvodová síla
R <sub>m</sub>	[MPa]	Mez pevnosti v tahu
R <sub>e</sub>	[MPa]	Mez kluzu v tahu
V <sub>HV</sub>	[HV3]	Tvrdost na boku zuba
σ <sub>Hlim</sub>	[MPa]	Mez únavy v dotyku
σ <sub>Flimb</sub>	[MPa]	Mez únavy v ohybu
d <sub>2</sub>	[mm]	Roztečná kružnice kola prvního čelního soukolí
z <sub>1</sub>	[−]	Počet zubů pastorku prvního čelního soukolí
z <sub>2</sub>	[−]	Počet zubů kola prvního čelního soukolí
b <sub>wH</sub>	[mm]	Šířka pastorku i kola prvního čelního soukolí
Z <sub>E</sub>	[−]	Součinitel mechanických vlastností materiálů spoluzabírajících ozubených kol
Z <sub>H</sub>	[−]	Součinitel tvaru spoluzabírajících zubů
Z <sub>ε</sub>	[−]	Součinitel součtové délky dotykových křivek boků zubů
u <sub>12</sub>	[−]	Poměr počtu zubů
σ <sub>H0</sub>	[MPa]	Napětí v dotyku při ideálním zatížení přesných zubů
K <sub>A</sub>	[−]	Orientační hodnota součinitele pro respektování dynamických sil
K <sub>Hβ</sub>	[−]	Součinitel nerovnoměrnosti zatížení zubů po šířce (pro výpočet na dotyk)
K <sub>Ha</sub>	[−]	Součinitel podílu zatížení jednotlivých zubů (pro výpočet na dotyk)
K <sub>Hv</sub>	[−]	Součinitel vnitřních dynamických sil (pro výpočet na dotyk)
Z <sub>R</sub>	[−]	Součinitel výchozí drsnosti boků zubů
σ <sub>Hmax</sub>	[MPa]	Největší napětí v dotyku vzniklé působením síly F <sub>t1max</sub>
σ <sub>HPmax</sub>	[MPa]	Přípustné napětí v dotyku při největším zatížení
K <sub>F</sub>	[−]	Součinitel přídavných zatížení

$K_{F\beta}$	[-]	Součinitel nerovnoměrnosti zatížení zubů po šířce (pro výpočet na ohyb)
$K_{Fa}$	[-]	Součinitel podílu zatížení jednotlivých zubů (pro výpočet na ohyb)
$K_{Fv}$	[-]	Součinitel vnitřních dynamických sil (pro výpočet na ohyb)
$S_{Hmin}$	[–]	Nejmenší hodnota součinitele bezpečnosti proti vzniku únavového poškození boků zubů
$S_{Fmin}$	[–]	Nejmenší hodnota součinitele bezpečnosti proti vzniku únavového lomu v patě zuba
$b_{wF}$	[mm]	Šířka pastorku i kola prvního čelního soukolí
$Y_{FS}$	[-]	Součinitel tvaru zuba a koncentrace napětí
$Y_\beta$	[-]	Součinitel sklonu zuba
$Y_\epsilon$	[-]	Součinitel vlivu záběru profilu
$\varepsilon_a$	[-]	Součinitel záběru profilu
$\sigma_F$	[MPa]	Ohybové napětí v nebezpečném průřezu paty zuba
$\sigma_{FSt}$	[MPa]	Pevnost v ohybu při největším zatížení
$\sigma_{FPmax}$	[MPa]	Přípustné napětí v ohybu při největším zatížení
$\sigma_{Fmax}$	[MPa]	Největší místní ohybové napětí v patě zuba, vzniklé působením síly $F_{t1max}$
$\tau_{KD}$	[MPa]	Dovolené napětí v krutu
$d_{HHmin}$	[mm]	Minimální průměr hnací hřídele

## SEZNAM PŘÍLOH

VÝKRESOVÁ DOKUMENTACE:

1-DP18-00

PŘEVODOVÉ ÚSTOJÍ

-

výkres sestavy